

# Анализ данных

smvfe

*Данный конспект не является официальным учебным материалом и не претендует на полноту и истинность изложенного. Использование данного материала подразумевает понимание контекста и использование критического мышления.*

## Содержание

<b>1 Табличный набор данных</b>	<b>8</b>
1.1 Типы признаков . . . . .	8
1.2 Целевая переменная . . . . .	8
<b>2 Форматы CSV, TSV, ARFF</b>	<b>8</b>
2.1 CSV (Comma-Separated Values) . . . . .	8
2.2 TSV (Tab-Separated Values) . . . . .	9
2.3 ARFF (Attribute-Relation File Format) . . . . .	9
<b>3 Категории и числа. One-hot кодирование</b>	<b>10</b>
3.1 Методы кодирования категориальных признаков . . . . .	10
3.1.1 Label Encoding (метки) . . . . .	10
3.1.2 One-Hot Encoding (унитарное кодирование) . . . . .	10
3.1.3 Другие методы . . . . .	10
<b>4 Мин-макс нормализация. Стандартизация</b>	<b>11</b>
4.1 Мин-макс нормализация (Min-Max Scaling) . . . . .	11
4.2 Стандартизация (Z-score Normalization) . . . . .	11
4.3 Robust Scaling . . . . .	12
4.4 Сравнение методов . . . . .	12
<b>5 Инварианты табличного набора данных</b>	<b>12</b>
5.1 Основные инварианты . . . . .	12
5.2 Требования к данным . . . . .	12
5.3 Проблемы нарушения инвариантов . . . . .	12
<b>6 Сильный и слабый ИИ. Тест Тьюринга</b>	<b>13</b>
6.1 Слабый (узкий) ИИ (Narrow AI / Weak AI) . . . . .	13
6.2 Сильный (общий) ИИ (General AI / Strong AI / AGI) . . . . .	13
6.3 Тест Тьюринга . . . . .	13
<b>7 Дилемма смещения-дисперсии</b>	<b>14</b>
7.1 Разложение ошибки . . . . .	14
7.2 Смещение (Bias) . . . . .	14
7.3 Дисперсия (Variance) . . . . .	14
7.4 Компромисс . . . . .	15

<b>8 Гиперпараметры. Регуляризация</b>	<b>15</b>
8.1 Гиперпараметры . . . . .	15
8.2 Регуляризация . . . . .	16
8.2.1 L2-регуляризация (Ridge, гребневая регрессия) . . . . .	16
8.2.2 L1-регуляризация (Lasso) . . . . .	16
8.2.3 Elastic Net . . . . .	16
8.2.4 Другие методы регуляризации . . . . .	16
<b>9 Валидация на отложенных данных. Перекрёстная проверка</b>	<b>17</b>
9.1 Проблема оценки качества . . . . .	17
9.2 Hold-out валидация (отложенная выборка) . . . . .	17
9.3 Перекрёстная проверка (Cross-Validation) . . . . .	17
9.3.1 K-Fold Cross-Validation . . . . .	17
9.3.2 Stratified K-Fold . . . . .	17
9.3.3 Leave-One-Out (LOO) . . . . .	18
9.3.4 Repeated K-Fold . . . . .	18
9.3.5 Time Series Split . . . . .	18
9.4 Сравнение методов . . . . .	18
<b>10 ROC-AUC, F-мера, Матрица ошибок</b>	<b>18</b>
10.1 Матрица ошибок (Confusion Matrix) . . . . .	18
10.2 Базовые метрики классификации . . . . .	19
10.3 F-мера (F-score) . . . . .	19
10.4 ROC-кривая и AUC . . . . .	19
10.5 PR-кривая . . . . .	20
<b>11 MSE, RMSE, NRMSE, MAE, MAPE, SMAPE</b>	<b>20</b>
11.1 MAE (Mean Absolute Error) . . . . .	20
11.2 MSE (Mean Squared Error) . . . . .	20
11.3 RMSE (Root Mean Squared Error) . . . . .	21
11.4 NRMSE (Normalized RMSE) . . . . .	21
11.5 MAPE (Mean Absolute Percentage Error) . . . . .	21
11.6 SMAPE (Symmetric MAPE) . . . . .	21
11.7 $R^2$ (Коэффициент детерминации) . . . . .	22
11.8 Сравнение метрик . . . . .	22
<b>12 Метод окна Парзена. Формула Надарая-Ватсона</b>	<b>22</b>
12.1 Метод окна Парзена (Parzen Window) . . . . .	22
12.2 Формула Надарая-Ватсона . . . . .	23
<b>13 Ядерное сглаживание. Ядро для kNN</b>	<b>23</b>
13.1 Ядерное сглаживание (Kernel Smoothing) . . . . .	23
13.2 Ядро для kNN . . . . .	24
<b>14 SMOTE. Tomek Links. LOWESS</b>	<b>24</b>
14.1 SMOTE (Synthetic Minority Over-sampling Technique) . . . . .	24
14.2 Tomek Links . . . . .	25
14.3 LOWESS / LOESS . . . . .	25

<b>15 Метод максимального правдоподобия</b>	<b>26</b>
15.1 Функция правдоподобия . . . . .	26
15.2 Оценка максимального правдоподобия . . . . .	26
15.3 Примеры . . . . .	26
15.4 Свойства MLE-оценок . . . . .	27
15.5 Связь с машинным обучением . . . . .	27
<b>16 Линейная регрессия. МНК</b>	<b>27</b>
16.1 Модель линейной регрессии . . . . .	27
16.2 Метод наименьших квадратов (МНК / OLS) . . . . .	27
16.3 Условия применимости . . . . .	28
16.4 Проблема мультиколлинеарности . . . . .	28
16.5 Теорема Гаусса-Маркова . . . . .	28
<b>17 Сингулярное разложение (SVD)</b>	<b>28</b>
17.1 Определение . . . . .	28
17.2 Свойства . . . . .	29
17.3 Усечённое SVD (Truncated SVD) . . . . .	29
17.4 Применения в ML . . . . .	29
<b>18 Регуляризация. L1, L2, ElasticNet (расширенное)</b>	<b>29</b>
18.1 Геометрическая интерпретация . . . . .	29
18.2 Аналитические решения . . . . .	30
18.3 Байесовская интерпретация . . . . .	30
18.4 Выбор $\lambda$ . . . . .	30
<b>19 Линейная классификация. Логистическая регрессия</b>	<b>30</b>
19.1 Линейный классификатор . . . . .	30
19.2 Логистическая регрессия . . . . .	31
19.3 Функция потерь . . . . .	31
19.4 Оптимизация . . . . .	31
19.5 Многоклассовая классификация . . . . .	32
19.6 Регуляризация в логистической регрессии . . . . .	32
<b>20 Градиентный спуск</b>	<b>32</b>
20.1 Основная идея . . . . .	32
20.2 Виды градиентного спуска . . . . .	32
20.2.1 Batch Gradient Descent (полный) . . . . .	32
20.2.2 Stochastic Gradient Descent (SGD) . . . . .	33
20.2.3 Mini-batch Gradient Descent . . . . .	33
20.3 Выбор скорости обучения . . . . .	33
20.4 Продвинутые оптимизаторы . . . . .	33
20.4.1 Momentum (импульс) . . . . .	33
20.4.2 AdaGrad . . . . .	33
20.4.3 RMSprop . . . . .	34
20.4.4 Adam (Adaptive Moment Estimation) . . . . .	34
20.5 Условия сходимости . . . . .	34
<b>21 SoftArgMax. SoftMax</b>	<b>34</b>
21.1 Функция Softmax . . . . .	34
21.2 Температурный параметр . . . . .	35
21.3 SoftArgMax . . . . .	35
21.4 Применение в машинном обучении . . . . .	35

21.5 Численная стабильность . . . . .	35
21.6 Связь с кросс-энтропией . . . . .	35
<b>22 Метод опорных векторов (SVM)</b> . . . . .	<b>36</b>
22.1 Линейно разделимый случай . . . . .	36
22.2 Опорные векторы . . . . .	36
22.3 Мягкий зазор (Soft Margin) . . . . .	36
22.4 Двойственная задача . . . . .	36
22.5 Функции потерь SVM . . . . .	37
<b>23 Ядро для метода опорных векторов</b> . . . . .	<b>37</b>
23.1 Ядерный трюк (Kernel Trick) . . . . .	37
23.2 Условие Мерсера . . . . .	37
23.3 Популярные ядра . . . . .	37
23.4 Выбор ядра и параметров . . . . .	38
23.5 Свойства ядер . . . . .	38
<b>24 Формула Байеса. Наивный байесовский классификатор</b> . . . . .	<b>38</b>
24.1 Формула Байеса . . . . .	38
24.2 Байесовский классификатор . . . . .	38
24.3 Наивный байесовский классификатор . . . . .	39
24.4 Виды наивного Байеса . . . . .	39
24.4.1 Categorical (Multinomial) Naive Bayes . . . . .	39
24.4.2 Gaussian Naive Bayes . . . . .	39
24.4.3 Bernoulli Naive Bayes . . . . .	39
24.5 Преимущества и недостатки . . . . .	39
<b>25 Оценка плотности. Сглаживание Лапласа</b> . . . . .	<b>40</b>
25.1 Оценка плотности . . . . .	40
25.2 Проблема нулевых вероятностей . . . . .	40
25.3 Сглаживание Лапласа (Additive Smoothing) . . . . .	40
25.4 Байесовская интерпретация . . . . .	40
25.5 Сглаживание для текстов . . . . .	41
<b>26 Сезонность, периодичность, тренд, стационарность</b> . . . . .	<b>41</b>
26.1 Тренд (Trend) . . . . .	41
26.2 Сезонность (Seasonality) . . . . .	41
26.3 Периодичность (Cyclicity) . . . . .	41
26.4 Стационарность (Stationarity) . . . . .	42
<b>27 AR. MA. ARMA. ARIMA. SARIMA</b> . . . . .	<b>42</b>
27.1 AR (Autoregressive) — авторегрессия . . . . .	42
27.2 MA (Moving Average) — скользящее среднее . . . . .	43
27.3 ARMA — авторегрессия со скользящим средним . . . . .	43
27.4 ARIMA — интегрированная ARMA . . . . .	43
27.5 SARIMA — сезонная ARIMA . . . . .	43
27.6 Процедура Бокса-Дженкинса . . . . .	44
<b>28 n-граммы, BPE, word2vec</b> . . . . .	<b>44</b>
28.1 n-граммы . . . . .	44
28.2 BPE (Byte Pair Encoding) . . . . .	44
28.3 Word2Vec . . . . .	45
28.3.1 Skip-gram . . . . .	45

28.3.2 CBOW (Continuous Bag of Words) . . . . .	45
28.3.3 Оптимизации . . . . .	45
28.4 Свойства word2vec . . . . .	45
<b>29 Лемматизация и стемминг</b>	<b>45</b>
29.1 Стемминг (Stemming) . . . . .	46
29.2 Лемматизация (Lemmatization) . . . . .	46
29.3 Сравнение . . . . .	47
29.4 Выбор метода . . . . .	47
<b>30 Деревья принятия решений</b>	<b>47</b>
30.1 Структура дерева . . . . .	47
30.2 Критерии разбиения для классификации . . . . .	47
30.2.1 Энтропия и Information Gain . . . . .	47
30.2.2 Индекс Джини (Gini Impurity) . . . . .	47
30.2.3 Сравнение критериев . . . . .	48
30.3 Критерии для регрессии . . . . .	48
30.4 Алгоритмы построения . . . . .	48
30.5 Регуляризация деревьев . . . . .	48
30.6 Преимущества и недостатки . . . . .	48
<b>31 Ансамбли. Бэггинг и стэкинг</b>	<b>49</b>
31.1 Идея ансамблей . . . . .	49
31.2 Бэггинг (Bootstrap Aggregating) . . . . .	49
31.2.1 Random Forest . . . . .	49
31.3 Стэкинг (Stacking) . . . . .	50
31.4 Сравнение методов . . . . .	50
<b>32 Задача бустинга и градиентный бустинг</b>	<b>50</b>
32.1 Идея бустинга . . . . .	50
32.2 AdaBoost (Adaptive Boosting) . . . . .	50
32.3 Градиентный бустинг . . . . .	51
32.4 Популярные реализации . . . . .	51
32.5 Гиперпараметры градиентного бустинга . . . . .	51
<b>33 Задача кластеризации. Внешние и внутренние меры</b>	<b>52</b>
33.1 Задача кластеризации . . . . .	52
33.2 Типы кластеризации . . . . .	52
33.3 Внешние меры качества . . . . .	52
33.3.1 Rand Index (RI) . . . . .	52
33.3.2 Adjusted Rand Index (ARI) . . . . .	52
33.3.3 Normalized Mutual Information (NMI) . . . . .	52
33.3.4 Другие внешние меры . . . . .	53
33.4 Внутренние меры качества . . . . .	53
33.4.1 Silhouette Score . . . . .	53
33.4.2 Индекс Дэвиса-Болдина (Davies-Bouldin Index) . . . . .	53
33.4.3 Индекс Калински-Харабасза (Calinski-Harabasz) . . . . .	53
33.4.4 Метод локтя (Elbow Method) . . . . .	53

<b>34 EM-алгоритмы. Алгоритм k-Means</b>	<b>54</b>
34.1 Алгоритм k-Means . . . . .	54
34.1.1 Инициализация k-Means++ . . . . .	54
34.2 EM-алгоритм (Expectation-Maximization) . . . . .	54
34.3 Gaussian Mixture Models (GMM) . . . . .	55
<b>35 Графовые и плотностные алгоритмы кластеризации</b>	<b>55</b>
35.1 DBSCAN (Density-Based Spatial Clustering) . . . . .	55
35.2 HDBSCAN . . . . .	56
35.3 Иерархическая кластеризация . . . . .	56
35.4 Спектральная кластеризация . . . . .	57
<b>36 Алгоритм PCA и t-SNE</b>	<b>57</b>
36.1 PCA (Principal Component Analysis) . . . . .	57
36.2 t-SNE (t-Distributed Stochastic Neighbor Embedding) . . . . .	58
36.3 UMAP . . . . .	58
<b>37 Алгоритмы-обёртки и встроенные методы отбора признаков</b>	<b>59</b>
37.1 Алгоритмы-обёртки (Wrapper Methods) . . . . .	59
37.1.1 Forward Selection (прямой отбор) . . . . .	59
37.1.2 Backward Elimination (обратное исключение) . . . . .	59
37.1.3 Recursive Feature Elimination (RFE) . . . . .	59
37.2 Встроенные методы (Embedded Methods) . . . . .	59
37.2.1 L1-регуляризация (Lasso) . . . . .	59
37.2.2 Деревья решений и ансамбли . . . . .	60
37.2.3 ElasticNet . . . . .	60
<b>38 Фильтрующие методы выбора признаков</b>	<b>60</b>
38.1 Методы для числовых признаков . . . . .	60
38.1.1 Корреляция с целевой переменной . . . . .	60
38.1.2 Дисперсия . . . . .	60
38.1.3 Mutual Information . . . . .	60
38.2 Методы для категориальных признаков . . . . .	60
38.2.1 Хи-квадрат ( $\chi^2$ ) . . . . .	60
38.2.2 ANOVA F-test . . . . .	61
38.3 Преимущества и недостатки фильтров . . . . .	61
38.4 Сравнение методов отбора . . . . .	61
<b>39 Задача выбора алгоритма и настройки гиперпараметров</b>	<b>61</b>
39.1 Проблема выбора модели . . . . .	61
39.2 AutoML . . . . .	61
39.3 Стратегии оценки . . . . .	62
39.4 Nested Cross-Validation . . . . .	62
<b>40 Поиск по сетке. Случайный поиск</b>	<b>62</b>
40.1 Grid Search (поиск по сетке) . . . . .	62
40.2 Random Search (случайный поиск) . . . . .	63
40.3 Сравнение методов . . . . .	63

<b>41 Optuna</b>	<b>63</b>
41.1 Основные концепции . . . . .	63
41.2 Алгоритмы сэмплирования . . . . .	63
41.2.1 TPE (Tree-structured Parzen Estimator) . . . . .	63
41.2.2 Другие сэмплеры . . . . .	64
41.3 Pruning (обрезка) . . . . .	64
41.4 Преимущества Optuna . . . . .	64
41.5 Сравнение с другими фреймворками . . . . .	64
<b>42 Самообучение (self-training) и сообучение (co-training)</b>	<b>64</b>
42.1 Самообучение (Self-Training) . . . . .	64
42.2 Сообучение (Co-Training) . . . . .	65
42.3 Tri-Training . . . . .	65
42.4 Применение . . . . .	65
<b>43 Активное обучение</b>	<b>66</b>
43.1 Сценарии активного обучения . . . . .	66
43.2 Стратегии выбора примеров . . . . .	66
43.2.1 Uncertainty Sampling . . . . .	66
43.2.2 Query-by-Committee (QBC) . . . . .	66
43.2.3 Expected Model Change . . . . .	66
43.2.4 Density-Weighted Methods . . . . .	66
43.3 Batch Active Learning . . . . .	66
43.4 Преимущества и ограничения . . . . .	67
43.5 Применение . . . . .	67

# 1 Табличный набор данных

**Табличный набор данных** (tabular dataset) — это структурированное представление данных в виде двумерной таблицы, где:

- **Строки** (rows) — представляют отдельные наблюдения, объекты или примеры (samples, instances, observations).
- **Столбцы** (columns) — представляют признаки, атрибуты или переменные (features, attributes, variables).

Формально табличный набор данных можно представить как матрицу  $X \in \mathbb{R}^{n \times m}$ , где:

- $n$  — количество объектов (строк)
- $m$  — количество признаков (столбцов)
- $x_{ij}$  — значение  $j$ -го признака для  $i$ -го объекта

## 1.1 Типы признаков

### 1. Числовые (количественные):

- *Непрерывные* — могут принимать любые значения из интервала (рост, вес, температура)
- *Дискретные* — принимают счётные значения (количество комнат, возраст в годах)

### 2. Категориальные (качественные):

- *Номинальные* — нет естественного порядка (цвет, страна, пол)
- *Порядковые (ординальные)* — есть естественный порядок (образование, рейтинг)

### 3. Бинарные — принимают только два значения (да/нет, 0/1)

## 1.2 Целевая переменная

В задачах обучения с учителем выделяют **целевую переменную**  $y$  (target variable, label):

- В задаче **классификации**:  $y \in \{1, 2, \dots, K\}$  — номер класса
- В задаче **регрессии**:  $y \in \mathbb{R}$  — вещественное число

# 2 Форматы CSV, TSV, ARFF

## 2.1 CSV (Comma-Separated Values)

**CSV** — текстовый формат для хранения табличных данных, где значения разделены запятыми.

### Особенности:

- Первая строка обычно содержит названия столбцов (заголовок)
- Каждая последующая строка — одна запись
- Значения разделены запятыми (или точкой с запятой в некоторых локаллях)
- Текстовые значения могут быть заключены в кавычки

- Пустые значения обозначаются пустой строкой между разделителями

**Пример:**

```
name,age,salary
Alice,30,50000
Bob,25,45000
Charlie,35,60000
```

## 2.2 TSV (Tab-Separated Values)

TSV — аналог CSV, где в качестве разделителя используется символ табуляции (\t).

**Преимущества перед CSV:**

- Табуляция реже встречается в данных, чем запятая
- Меньше проблем с экранированием
- Проще визуально выравнивать столбцы

## 2.3 ARFF (Attribute-Relation File Format)

ARFF — формат, разработанный для системы машинного обучения WEKA. Содержит метаданные о типах атрибутов.

**Структура файла:**

1. @RELATION — имя набора данных
2. @ATTRIBUTE — описание каждого атрибута с указанием типа
3. @DATA — секция с данными

**Типы атрибутов в ARFF:**

- NUMERIC или REAL — числовой
- INTEGER — целочисленный
- STRING — строковый
- {value1, value2, ...} — номинальный (перечисление)
- DATE — дата

**Пример:**

```
@RELATION employees
```

```
@ATTRIBUTE name STRING
@ATTRIBUTE age NUMERIC
@ATTRIBUTE department {IT, HR, Sales}
@ATTRIBUTE salary NUMERIC
```

```
@DATA
'Bob',25,HR,45000
'Charlie',35,Sales,60000
'Alice',30,IT,50000
```

### 3 Категории и числа. One-hot кодирование

Большинство алгоритмов машинного обучения работают только с числовыми данными, поэтому категориальные признаки необходимо преобразовывать.

#### 3.1 Методы кодирования категориальных признаков

##### 3.1.1 Label Encoding (метки)

Каждой категории присваивается уникальное целое число:

$$\text{Red} \rightarrow 0, \quad \text{Green} \rightarrow 1, \quad \text{Blue} \rightarrow 2$$

**Недостаток:** вводит ложный порядок между категориями (алгоритм может решить, что Blue > Green > Red).

##### 3.1.2 One-Hot Encoding (унитарное кодирование)

Категориальный признак с  $K$  уникальными значениями преобразуется в  $K$  бинарных признаков.

Для категории  $c_k$  создаётся вектор длины  $K$ :

$$\mathbf{e}_k = (0, \dots, 0, \underbrace{1}_{k\text{-я позиция}}, 0, \dots, 0)$$

**Пример:** признак «Цвет» с значениями {Red, Green, Blue}:

Цвет	is_Red	is_Green	is_Blue
Red	1	0	0
Green	0	1	0
Blue	0	0	1

**Преимущества:**

- Не вводит ложный порядок
- Подходит для большинства алгоритмов

**Недостатки:**

- Увеличивает размерность данных (проблема для признаков с большим числом категорий)
- Создаёт разреженные (sparse) матрицы
- **Dummy variable trap** — линейная зависимость между признаками (решается удалением одного столбца)

##### 3.1.3 Другие методы

- **Target Encoding** — замена категории на среднее значение целевой переменной
- **Frequency Encoding** — замена на частоту встречаемости
- **Binary Encoding** — представление номера категории в двоичном виде

## 4 Мин-макс нормализация. Стандартизация

**Масштабирование признаков** (feature scaling) — преобразование числовых признаков к единому масштабу. Необходимо для:

- Алгоритмов, чувствительных к масштабу (kNN, SVM, нейронные сети, градиентный спуск)
- Ускорения сходимости оптимизации
- Корректного сравнения важности признаков

### 4.1 Мин-макс нормализация (Min-Max Scaling)

Линейное преобразование значений признака в диапазон  $[0, 1]$ :

$$x'_i = \frac{x_i - x_{\min}}{x_{\max} - x_{\min}}$$

где  $x_{\min}$  и  $x_{\max}$  — минимальное и максимальное значения признака.

Для произвольного диапазона  $[a, b]$ :

$$x'_i = a + \frac{(x_i - x_{\min})(b - a)}{x_{\max} - x_{\min}}$$

**Свойства:**

- Все значения гарантированно в заданном диапазоне
- Сохраняет форму распределения
- Чувствителен к выбросам (outliers)

### 4.2 Стандартизация (Z-score Normalization)

Преобразование к распределению со средним 0 и стандартным отклонением 1:

$$x'_i = \frac{x_i - \mu}{\sigma}$$

где:

- $\mu = \frac{1}{n} \sum_{i=1}^n x_i$  — среднее значение
- $\sigma = \sqrt{\frac{1}{n} \sum_{i=1}^n (x_i - \mu)^2}$  — стандартное отклонение

**Свойства:**

- Среднее становится равным 0, дисперсия равна 1
- Менее чувствителен к выбросам, чем Min-Max
- Не ограничивает значения определённым диапазоном
- Предпочтителен для алгоритмов, предполагающих нормальное распределение

## 4.3 Robust Scaling

Устойчивый к выбросам метод, использующий медиану и межквартильный размах (IQR):

$$x'_i = \frac{x_i - \text{median}(x)}{\text{IQR}(x)} = \frac{x_i - Q_2}{Q_3 - Q_1}$$

## 4.4 Сравнение методов

Метод	Диапазон	Выбросы	Применение
Min-Max	[0, 1]	Чувствителен	Нейросети, изображения
Стандартизация	( $-\infty, +\infty$ )	Умеренно	Большинство алгоритмов
Robust	( $-\infty, +\infty$ )	Устойчив	Данные с выбросами

# 5 Инварианты табличного набора данных

**Инварианты** — это свойства данных, которые должны сохраняться или учитываться при обработке и моделировании.

## 5.1 Основные инварианты

### 1. Инвариантность к перестановке строк

Порядок объектов в выборке обычно не несёт информации (исключение — временные ряды). Результат обучения не должен зависеть от порядка примеров.

### 2. Инвариантность к перестановке столбцов

Для большинства алгоритмов порядок признаков не важен (исключение — свёрточные сети для изображений).

### 3. Инвариантность к масштабированию

Для некоторых алгоритмов (деревья решений) результат не зависит от масштаба признаков. Для других (kNN, SVM) масштабирование критично.

### 4. Инвариантность к кодированию

Независимость от кодирования (способа представления) числовых и категориальных признаков.

## 5.2 Требования к данным

- **IID-предположение** (Independent and Identically Distributed) — объекты независимы и одинаково распределены
- **Представительность** — обучающая выборка должна отражать генеральную совокупность
- **Однородность** — данные получены из одного источника/процесса

## 5.3 Проблемы нарушения инвариантов

- **Data Leakage** — утечка информации из тестовой выборки в обучающую
- **Concept Drift** — изменение распределения данных со временем
- **Sample Selection Bias** — систематическое смещение в отборе данных

## 6 Сильный и слабый ИИ. Тест Тьюринга

### 6.1 Слабый (узкий) ИИ (Narrow AI / Weak AI)

**Слабый ИИ** — системы, предназначенные для решения конкретных, узкоспециализированных задач.

**Характеристики:**

- Решает одну или несколько связанных задач
- Не обладает общим интеллектом или сознанием
- Не понимает контекст за пределами своей задачи
- Все современные системы ИИ относятся к этому типу

**Примеры:**

- Распознавание изображений
- Рекомендательные системы
- Голосовые ассистенты
- Шахматные программы (Deep Blue, Stockfish)
- Системы машинного перевода

### 6.2 Сильный (общий) ИИ (General AI / Strong AI / AGI)

**Сильный ИИ** (AGI — Artificial General Intelligence) — гипотетическая система, обладающая интеллектом человеческого уровня.

**Характеристики:**

- Способность решать произвольные интеллектуальные задачи
- Понимание, рассуждение, обучение в любой области
- Возможное наличие сознания и самосознания
- Способность к переносу знаний между областями
- На данный момент не существует

### 6.3 Тест Тьюринга

**Тест Тьюринга** (1950) — критерий определения, может ли машина «мыслить».

**Процедура:**

1. Человек-судья ведёт текстовый диалог с двумя собеседниками
2. Один собеседник — человек, другой — машина
3. Судья не знает, кто есть кто
4. Задача судьи — определить, кто из собеседников машина
5. Если судья не может надёжно отличить машину от человека, машина проходит тест

### Критика теста Тьюринга:

- **Китайская комната** (Джон Сёрл) — система может манипулировать символами без понимания их смысла
- Тест проверяет имитацию, а не реальное мышление
- Человек может не пройти тест (например, из-за языкового барьера)
- Тест антропоцентричен — измеряет похожесть на человека, а не интеллект

### Альтернативные тесты:

- **Тест кофе** (Возняк) — сделать кофе в незнакомой кухне
- **Тест студента** — поступить в университет и получить диплом
- **Тест занятости** — выполнять экономически значимую работу

## 7 Дилемма смещения-дисперсии

Bias-Variance Tradeoff — фундаментальная проблема машинного обучения, описывающая компромисс между двумя источниками ошибок.

### 7.1 Разложение ошибки

Для задачи регрессии с истинной функцией  $f(x)$  и моделью  $\hat{f}(x)$  математическое ожидание квадрата ошибки:

$$\mathbb{E}[(y - \hat{f}(x))^2] = \underbrace{\text{Bias}^2[\hat{f}(x)]}_{\text{смещение}} + \underbrace{\text{Var}[\hat{f}(x)]}_{\text{дисперсия}} + \underbrace{\sigma^2}_{\text{шум}}$$

где:

- $\text{Bias}[\hat{f}(x)] = \mathbb{E}[\hat{f}(x)] - f(x)$  — смещение (систематическая ошибка)
- $\text{Var}[\hat{f}(x)] = \mathbb{E}[(\hat{f}(x) - \mathbb{E}[\hat{f}(x)])^2]$  — дисперсия (разброс предсказаний)
- $\sigma^2$  — неустранимая ошибка (шум в данных)

### 7.2 Смещение (Bias)

**Смещение** — ошибка из-за упрощающих предположений модели.

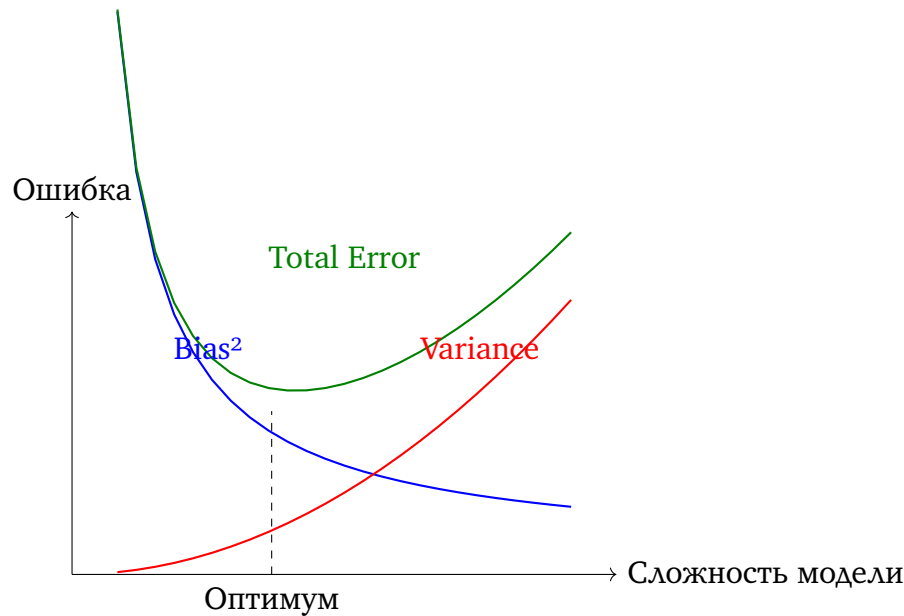
- **Высокое смещение:** модель слишком простая, не может уловить закономерности
- Приводит к **недообучению** (underfitting)
- Примеры: линейная регрессия для нелинейных данных

### 7.3 Дисперсия (Variance)

**Дисперсия** — чувствительность модели к флюктуациям в обучающих данных.

- **Высокая дисперсия:** модель слишком сложная, запоминает шум
- Приводит к **переобучению** (overfitting)
- Примеры: полином высокой степени, глубокое дерево решений

## 7.4 Компромисс



**Методы борьбы:**

- С высоким смещением: увеличить сложность модели, добавить признаки
- С высокой дисперсией: регуляризация, больше данных, ансамбли, dropout

# 8 Гиперпараметры. Регуляризация

## 8.1 Гиперпараметры

**Параметры модели** — значения, которые модель обучает на данных (веса, коэффициенты).

**Гиперпараметры** — настройки, задаваемые до обучения, управляющие процессом обучения или структурой модели.

**Примеры гиперпараметров:**

- Скорость обучения (learning rate) в градиентном спуске
- Количество деревьев в случайному лесе
- Глубина дерева решений
- Количество соседей  $k$  в kNN
- Коэффициент регуляризации  $\lambda$
- Размер батча, количество эпох
- Архитектура нейросети (количество слоёв, нейронов)

**Методы подбора гиперпараметров:**

- Grid Search (перебор по сетке)
- Random Search (случайный поиск)
- Bayesian Optimization
- Optuna, Hyperopt

## 8.2 Регуляризация

**Регуляризация** — методы предотвращения переобучения путём ограничения сложности модели.

### 8.2.1 L2-регуляризация (Ridge, гребневая регрессия)

Добавление штрафа на квадрат нормы весов:

$$L_{\text{Ridge}} = L_{\text{original}} + \lambda \sum_{j=1}^m w_j^2 = L_{\text{original}} + \lambda \|\mathbf{w}\|_2^2$$

**Свойства:**

- Уменьшает веса, но не обнуляет их
- Устойчива к мультиколлинеарности
- Имеет аналитическое решение

### 8.2.2 L1-регуляризация (Lasso)

Добавление штрафа на сумму модулей весов:

$$L_{\text{Lasso}} = L_{\text{original}} + \lambda \sum_{j=1}^m |w_j| = L_{\text{original}} + \lambda \|\mathbf{w}\|_1$$

**Свойства:**

- Обнуляет некоторые веса (отбор признаков)
- Создаёт разреженные модели
- Не имеет аналитического решения

### 8.2.3 Elastic Net

Комбинация L1 и L2 регуляризации:

$$L_{\text{ElasticNet}} = L_{\text{original}} + \lambda_1 \|\mathbf{w}\|_1 + \lambda_2 \|\mathbf{w}\|_2^2$$

или с параметром смешивания  $\alpha \in [0, 1]$ :

$$L_{\text{ElasticNet}} = L_{\text{original}} + \lambda (\alpha \|\mathbf{w}\|_1 + (1 - \alpha) \|\mathbf{w}\|_2^2)$$

### 8.2.4 Другие методы регуляризации

- **Dropout** — случайное отключение нейронов при обучении
- **Early Stopping** — остановка обучения при ухудшении на валидации
- **Data Augmentation** — увеличение объёма данных
- **Batch Normalization** — нормализация активаций
- **Pruning** — обрезка деревьев решений

## 9 Валидация на отложенных данных. Перекрёстная проверка

### 9.1 Проблема оценки качества

Нельзя оценивать качество модели на тех же данных, на которых она обучалась — это приведёт к оптимистичной оценке и не покажет способность к обобщению.

### 9.2 Hold-out валидация (отложенная выборка)

Данные разбиваются на части:

- **Обучающая выборка** (train set) — для обучения модели (60-80%)
- **Валидационная выборка** (validation set) — для подбора гиперпараметров (10-20%)
- **Тестовая выборка** (test set) — для финальной оценки (10-20%)

**Преимущества:**

- Простота реализации
- Быстрота (одно обучение)

**Недостатки:**

- Результат зависит от конкретного разбиения
- Неэффективно при малом объёме данных
- Высокая дисперсия оценки

### 9.3 Перекрёстная проверка (Cross-Validation)

#### 9.3.1 K-Fold Cross-Validation

1. Данные разбиваются на  $K$  равных частей (фолдов)
2. Для каждого  $i$  от 1 до  $K$ :
  - $i$ -й фолд используется как валидационный
  - Остальные  $K - 1$  фолдов — как обучающие
  - Модель обучается и оценивается
3. Итоговая оценка — среднее по всем фолдам

$$\text{CV Score} = \frac{1}{K} \sum_{i=1}^K \text{Score}_i$$

Типичные значения:  $K = 5$  или  $K = 10$ .

#### 9.3.2 Stratified K-Fold

Стратифицированная версия, сохраняющая пропорции классов в каждом фолде. Важна для несбалансированных данных.

### 9.3.3 Leave-One-Out (LOO)

Частный случай K-Fold, где  $K = n$  (количество объектов):

- Каждый объект по очереди становится валидационным
- Минимальное смещение оценки
- Очень высокая вычислительная сложность:  $O(n)$  обучений

### 9.3.4 Repeated K-Fold

Многократное повторение K-Fold с разными разбиениями для уменьшения дисперсии оценки.

### 9.3.5 Time Series Split

Для временных рядов: обучение всегда на прошлых данных, валидация на будущих:

- Fold 1: Train [1], Test [2]
- Fold 2: Train [1,2], Test [3]
- Fold 3: Train [1,2,3], Test [4]
- ...

## 9.4 Сравнение методов

Метод	Смещение	Дисперсия	Время
Hold-out	Высокое	Высокая	Низкое
5-Fold CV	Среднее	Средняя	Среднее
10-Fold CV	Низкое	Средняя	Высокое
LOO	Очень низкое	Высокая	Очень высокое

## 10 ROC-AUC, F-мера, Матрица ошибок

### 10.1 Матрица ошибок (Confusion Matrix)

Для задачи бинарной классификации матрица ошибок имеет вид:

	Предсказано: 1	Предсказано: 0
Истинно: 1	TP (True Positive)	FN (False Negative)
Истинно: 0	FP (False Positive)	TN (True Negative)

**Обозначения:**

- TP (True Positive) — истинно положительные (правильно предсказанные положительные)
- TN (True Negative) — истинно отрицательные (правильно предсказанные отрицательные)
- FP (False Positive) — ложноположительные (ошибка I рода, «ложная тревога»)
- FN (False Negative) — ложноотрицательные (ошибка II рода, «пропуск цели»)

## 10.2 Базовые метрики классификации

**Accuracy** (точность, доля правильных ответов):

$$\text{Accuracy} = \frac{TP + TN}{TP + TN + FP + FN}$$

**Precision** (точность, положительная прогностическая ценность):

$$\text{Precision} = \frac{TP}{TP + FP}$$

Доля действительно положительных среди всех предсказанных положительных.

**Recall** (полнота, чувствительность, TPR):

$$\text{Recall} = \text{TPR} = \frac{TP}{TP + FN}$$

Доля найденных положительных среди всех истинно положительных.

**Specificity** (специфичность, TNR):

$$\text{Specificity} = \text{TNR} = \frac{TN}{TN + FP}$$

**False Positive Rate** (FPR):

$$\text{FPR} = \frac{FP}{FP + TN} = 1 - \text{Specificity}$$

## 10.3 F-мера (F-score)

Гармоническое среднее между Precision и Recall:

$$F_1 = 2 \cdot \frac{\text{Precision} \cdot \text{Recall}}{\text{Precision} + \text{Recall}} = \frac{2TP}{2TP + FP + FN}$$

$F_\beta$ -мера — обобщение с параметром  $\beta$ :

$$F_\beta = (1 + \beta^2) \cdot \frac{\text{Precision} \cdot \text{Recall}}{\beta^2 \cdot \text{Precision} + \text{Recall}}$$

- $\beta = 1$ : баланс между Precision и Recall
- $\beta < 1$ : больший вес Precision
- $\beta > 1$ : больший вес Recall (например,  $F_2$  для медицинской диагностики)

## 10.4 ROC-кривая и AUC

**ROC-кривая** (Receiver Operating Characteristic) — график зависимости TPR от FPR при различных порогах классификации.

- Ось X: FPR (False Positive Rate)
- Ось Y: TPR (True Positive Rate = Recall)
- Диагональ  $y = x$  соответствует случайному классификатору
- Идеальный классификатор проходит через точку  $(0, 1)$

**AUC** (Area Under Curve) — площадь под ROC-кривой:

$$\text{AUC} = \int_0^1 \text{TPR}(\text{FPR}^{-1}(x)) dx$$

**Интерпретация AUC:**

- $\text{AUC} = 1.0$  — идеальный классификатор
- $\text{AUC} = 0.5$  — случайное угадывание
- $\text{AUC} < 0.5$  — хуже случайного (инвертировать предсказания)
- $0.7 \leq \text{AUC} < 0.8$  — приемлемое качество
- $0.8 \leq \text{AUC} < 0.9$  — хорошее качество
- $\text{AUC} \geq 0.9$  — отличное качество

**Вероятностная интерпретация:** AUC равна вероятности того, что случайно выбранный положительный пример получит более высокий score, чем случайно выбранный отрицательный.

## 10.5 PR-кривая

Precision-Recall кривая — график зависимости Precision от Recall.

Предпочтительна для несбалансированных данных, когда отрицательный класс значительно преобладает.

**AP** (Average Precision) — площадь под PR-кривой.

# 11 MSE, RMSE, NRMSE, MAE, MAPE, SMAPE

Метрики для оценки качества регрессионных моделей.

## 11.1 MAE (Mean Absolute Error)

Средняя абсолютная ошибка:

$$\text{MAE} = \frac{1}{n} \sum_{i=1}^n |y_i - \hat{y}_i|$$

**Свойства:**

- Интерпретируется в единицах целевой переменной
- Робастна к выбросам (по сравнению с MSE)
- Не дифференцируема в нуле

## 11.2 MSE (Mean Squared Error)

Среднеквадратичная ошибка:

$$\text{MSE} = \frac{1}{n} \sum_{i=1}^n (y_i - \hat{y}_i)^2$$

**Свойства:**

- Сильнее штрафует большие ошибки

- Дифференцируема (удобна для оптимизации)
- Чувствительна к выбросам
- Единицы измерения — квадрат единиц целевой переменной

### 11.3 RMSE (Root Mean Squared Error)

Корень из среднеквадратичной ошибки:

$$\text{RMSE} = \sqrt{\text{MSE}} = \sqrt{\frac{1}{n} \sum_{i=1}^n (y_i - \hat{y}_i)^2}$$

**Свойства:**

- Интерпретируется в единицах целевой переменной
- $\text{RMSE} \geq \text{MAE}$  (равенство при одинаковых ошибках)

### 11.4 NRMSE (Normalized RMSE)

Нормализованная RMSE для сравнения моделей на разных данных:

$$\text{NRMSE} = \frac{\text{RMSE}}{y_{\max} - y_{\min}} \quad \text{или} \quad \text{NRMSE} = \frac{\text{RMSE}}{\bar{y}}$$

### 11.5 MAPE (Mean Absolute Percentage Error)

Средняя абсолютная процентная ошибка:

$$\text{MAPE} = \frac{100\%}{n} \sum_{i=1}^n \left| \frac{y_i - \hat{y}_i}{y_i} \right|$$

**Свойства:**

- Безразмерная (в процентах)
- Не определена при  $y_i = 0$
- Асимметрична: недооценка и переоценка штрафуются по-разному

### 11.6 SMAPE (Symmetric MAPE)

Симметричная версия MAPE:

$$\text{SMAPE} = \frac{100\%}{n} \sum_{i=1}^n \frac{|y_i - \hat{y}_i|}{(|y_i| + |\hat{y}_i|)/2}$$

**Свойства:**

- Диапазон:  $[0\%, 200\%]$
- Симметрична относительно переоценки и недооценки
- Проблема при  $y_i = \hat{y}_i = 0$

## 11.7 $R^2$ (Коэффициент детерминации)

$$R^2 = 1 - \frac{\sum_{i=1}^n (y_i - \hat{y}_i)^2}{\sum_{i=1}^n (y_i - \bar{y})^2} = 1 - \frac{SS_{\text{res}}}{SS_{\text{tot}}}$$

**Интерпретация:**

- Доля дисперсии, объяснённая моделью
- $R^2 = 1$  — идеальная модель
- $R^2 = 0$  — модель не лучше константного предсказания  $\bar{y}$
- $R^2 < 0$  — модель хуже константы

## 11.8 Сравнение метрик

Метрика	Выбросы	Интерпретация	Оптимизация
MAE	Устойчива	В единицах $y$	Медиана
MSE	Чувствительна	В $y^2$	Среднее
RMSE	Чувствительна	В единицах $y$	Среднее
MAPE	Умеренно	В %	—
$R^2$	Чувствительна	Безразмерная	—

## 12 Метод окна Парзена. Формула Надаля-Ватсона

### 12.1 Метод окна Парзена (Parzen Window)

**Метод окна Парзена** — непараметрический метод оценки плотности распределения.

Для оценки плотности  $p(x)$  по выборке  $\{x_1, \dots, x_n\}$ :

$$\hat{p}(x) = \frac{1}{nh^d} \sum_{i=1}^n K\left(\frac{x - x_i}{h}\right)$$

где:

- $K(\cdot)$  — ядерная функция (kernel)
- $h$  — ширина окна (bandwidth), параметр слаживания
- $d$  — размерность пространства

**Требования к ядру:**

- $K(u) \geq 0$  — неотрицательность
- $\int K(u)du = 1$  — нормировка
- $K(-u) = K(u)$  — симметричность (обычно)

**Примеры ядер:**

Ядро	Формула
Прямоугольное	$K(u) = \frac{1}{2} \mathbf{1}_{ u  \leq 1}$
Треугольное	$K(u) = (1 -  u ) \mathbf{1}_{ u  \leq 1}$
Епанечникова	$K(u) = \frac{3}{4}(1 - u^2) \mathbf{1}_{ u  \leq 1}$
Гауссово	$K(u) = \frac{1}{\sqrt{2\pi}} e^{-u^2/2}$

**Выбор ширины окна  $h$ :**

- Малое  $h$ : модель с высокой дисперсией, «пилообразная» оценка
- Большое  $h$ : модель с высоким смещением, сглаженная оценка
- Правило Сильвермана:  $h = 1.06 \cdot \hat{\sigma} \cdot n^{-1/5}$

## 12.2 Формула Надарай-Ватсона

**Оценка Надарай-Ватсона** — ядерная регрессия, обобщение метода окон на задачу регрессии.

Для пар  $(x_i, y_i)$  предсказание в точке  $x$ :

$$\hat{y}(x) = \frac{\sum_{i=1}^n K\left(\frac{x-x_i}{h}\right) y_i}{\sum_{i=1}^n K\left(\frac{x-x_i}{h}\right)} = \sum_{i=1}^n w_i(x) \cdot y_i$$

где веса:

$$w_i(x) = \frac{K\left(\frac{x-x_i}{h}\right)}{\sum_{j=1}^n K\left(\frac{x-x_j}{h}\right)}$$

**Интерпретация:** взвешенное среднее значений  $y_i$ , где веса определяются близостью  $x_i$  к точке  $x$ .

**Свойства:**

- Непараметрический метод — не предполагает конкретную форму зависимости
- Локальная модель — предсказание зависит только от ближайших точек
- Сумма весов равна 1:  $\sum_i w_i(x) = 1$
- Является частным случаем локально взвешенной регрессии

## 13 Ядерное сглаживание. Ядро для kNN

### 13.1 Ядерное сглаживание (Kernel Smoothing)

**Ядерное сглаживание** — семейство методов непараметрической регрессии, использующих ядерные функции для взвешивания наблюдений.

**Общая формула:**

$$\hat{f}(x) = \sum_{i=1}^n w_i(x) \cdot y_i$$

где веса  $w_i(x)$  определяются ядерной функцией и убывают с расстоянием от  $x$ .

**Виды ядерного сглаживания:**

1. **Оценка Надарай-Ватсона** — локально константная модель
2. **Локально линейная регрессия** — в каждой точке строится линейная модель
3. **Локально полиномиальная регрессия** — полином степени  $p$

## 13.2 Ядро для kNN

В методе  $k$  ближайших соседей (kNN) можно использовать ядерные функции для взвешивания соседей.

**Стандартный kNN** (без ядра):

$$\hat{y}(x) = \frac{1}{k} \sum_{i \in N_k(x)} y_i$$

где  $N_k(x)$  — множество  $k$  ближайших соседей точки  $x$ .

**Взвешенный kNN с ядром:**

$$\hat{y}(x) = \frac{\sum_{i \in N_k(x)} K\left(\frac{\rho(x, x_i)}{h}\right) y_i}{\sum_{i \in N_k(x)} K\left(\frac{\rho(x, x_i)}{h}\right)}$$

где  $\rho(x, x_i)$  — расстояние между  $x$  и  $x_i$ .

**Адаптивная ширина окна:**

$$h(x) = \rho(x, x_{(k)})$$

где  $x_{(k)}$  —  $k$ -й ближайший сосед. Это делает ширину окна адаптивной к локальной плотности данных.

**Популярные веса для kNN:**

- **Равные веса:**  $w_i = 1/k$
- **По расстоянию:**  $w_i = 1/\rho(x, x_i)$
- **Гауссово ядро:**  $w_i = \exp\left(-\frac{\rho(x, x_i)^2}{2h^2}\right)$
- **Епанечникова:**  $w_i = \left(1 - \left(\frac{\rho(x, x_i)}{h}\right)^2\right)_+$

## 14 SMOTE. Tomek Links. LOWESS

### 14.1 SMOTE (Synthetic Minority Over-sampling Technique)

SMOTE — метод борьбы с дисбалансом классов путём генерации синтетических примеров миноритарного класса.

**Алгоритм:**

1. Для каждого примера  $x_i$  миноритарного класса:
2. Найти  $k$  ближайших соседей того же класса
3. Случайно выбрать одного соседа  $x_j$
4. Создать синтетический пример на отрезке между  $x_i$  и  $x_j$ :

$$x_{\text{new}} = x_i + \lambda \cdot (x_j - x_i), \quad \lambda \sim U(0, 1)$$

**Варианты SMOTE:**

- **Borderline-SMOTE** — генерация только для граничных примеров
- **SMOTE-ENN** — комбинация с удалением шумных примеров
- **ADASYN** — адаптивная генерация с учётом сложности примеров

## 14.2 Tomek Links

**Tomek Links** — метод очистки данных (undersampling), удаляющий неинформативные или шумные примеры.

**Определение:** Пара  $(x_i, x_j)$  образует Tomek Link, если:

- $x_i$  и  $x_j$  принадлежат разным классам
- $x_i$  — ближайший сосед  $x_j$
- $x_j$  — ближайший сосед  $x_i$

**Применение:**

- Удаление примеров мажоритарного класса из Tomek Links
- Или удаление обоих примеров пары
- Очищает границу между классами
- Часто комбинируется со SMOTE

## 14.3 LOWESS / LOESS

**LOWESS** (Locally Weighted Scatterplot Smoothing) / **LOESS** (Local Regression) — метод локально взвешенной полиномиальной регрессии.

**Алгоритм для предсказания в точке  $x_0$ :**

1. Определить окрестность:  $k$  ближайших соседей или точки в радиусе  $h$
2. Вычислить веса по расстоянию (обычно трикубическое ядро):

$$w_i = \left( 1 - \left( \frac{|x_i - x_0|}{d_{\max}} \right)^3 \right)^3$$

3. Решить взвешенную задачу наименьших квадратов:

$$\min_{\beta} \sum_{i=1}^n w_i (y_i - \beta_0 - \beta_1(x_i - x_0))^2$$

4. Предсказание:  $\hat{y}(x_0) = \hat{\beta}_0$

**Параметры:**

- Степень полинома (обычно 1 или 2)
- Ширина окна  $\alpha$  — доля точек в окрестности

**Применение:**

- Сглаживание зашумлённых данных
- Визуализация трендов
- Выявление нелинейных зависимостей
- Робастная версия устойчива к выбросам

## 15 Метод максимального правдоподобия

**Метод максимального правдоподобия** (Maximum Likelihood Estimation, MLE) — способ оценки параметров статистической модели.

### 15.1 Функция правдоподобия

Пусть  $X = \{x_1, \dots, x_n\}$  — выборка из распределения с плотностью  $p(x|\theta)$ , где  $\theta$  — неизвестный параметр.

**Функция правдоподобия** (likelihood function):

$$L(\theta|X) = \prod_{i=1}^n p(x_i|\theta)$$

**Лог-правдоподобие** (log-likelihood):

$$\ell(\theta) = \log L(\theta) = \sum_{i=1}^n \log p(x_i|\theta)$$

### 15.2 Оценка максимального правдоподобия

$$\hat{\theta}_{MLE} = \arg \max_{\theta} L(\theta) = \arg \max_{\theta} \ell(\theta)$$

**Нахождение:**

1. Записать функцию правдоподобия  $L(\theta)$
2. Взять логарифм:  $\ell(\theta) = \log L(\theta)$
3. Найти производную:  $\frac{\partial \ell}{\partial \theta} = 0$
4. Решить уравнение относительно  $\theta$
5. Проверить, что это максимум (вторая производная отрицательна)

### 15.3 Примеры

**Нормальное распределение**  $\mathcal{N}(\mu, \sigma^2)$ :

$$\hat{\mu}_{MLE} = \bar{x} = \frac{1}{n} \sum_{i=1}^n x_i$$

$$\hat{\sigma}_{MLE}^2 = \frac{1}{n} \sum_{i=1}^n (x_i - \bar{x})^2$$

**Распределение Бернулли** Bernoulli( $p$ ):

$$\hat{p}_{MLE} = \frac{1}{n} \sum_{i=1}^n x_i = \frac{\text{число успехов}}{n}$$

## 15.4 Свойства MLE-оценок

- **Состоятельность:**  $\hat{\theta}_n \xrightarrow{P} \theta$  при  $n \rightarrow \infty$
- **Асимптотическая нормальность:**  $\sqrt{n}(\hat{\theta}_n - \theta) \xrightarrow{d} \mathcal{N}(0, I^{-1}(\theta))$
- **Асимптотическая эффективность:** достигает границы Крамера-Рао
- **Инвариантность:** если  $\hat{\theta}$  — MLE для  $\theta$ , то  $g(\hat{\theta})$  — MLE для  $g(\theta)$

## 15.5 Связь с машинным обучением

- Минимизация MSE эквивалентна MLE при нормальном шуме
- Логистическая регрессия — MLE для модели Бернулли
- Кросс-энтропия — отрицательное лог-правдоподобие

# 16 Линейная регрессия. МНК

## 16.1 Модель линейной регрессии

**Линейная регрессия** — модель зависимости целевой переменной от признаков:

$$y = w_0 + w_1 x_1 + w_2 x_2 + \dots + w_m x_m + \varepsilon = \mathbf{w}^T \mathbf{x} + \varepsilon$$

В матричной форме для  $n$  объектов:

$$\mathbf{y} = X\mathbf{w} + \varepsilon$$

где:

- $\mathbf{y} \in \mathbb{R}^n$  — вектор целевых значений
- $X \in \mathbb{R}^{n \times (m+1)}$  — матрица признаков (с единичным столбцом для  $w_0$ )
- $\mathbf{w} \in \mathbb{R}^{m+1}$  — вектор весов
- $\varepsilon$  — вектор ошибок

## 16.2 Метод наименьших квадратов (МНК / OLS)

**Задача:** минимизировать сумму квадратов отклонений:

$$L(\mathbf{w}) = \sum_{i=1}^n (y_i - \mathbf{w}^T \mathbf{x}_i)^2 = \|\mathbf{y} - X\mathbf{w}\|_2^2 \rightarrow \min_{\mathbf{w}}$$

**Решение:** Берём градиент и приравниваем к нулю:

$$\nabla_{\mathbf{w}} L = -2X^T(\mathbf{y} - X\mathbf{w}) = 0$$

$$X^T X \mathbf{w} = X^T \mathbf{y}$$

**Нормальное уравнение:**

$$\hat{\mathbf{w}} = (X^T X)^{-1} X^T \mathbf{y}$$

**Псевдообратная матрица Мура-Пенроуза:**

$$X^+ = (X^T X)^{-1} X^T$$

### 16.3 Условия применимости

1. **Линейность** — зависимость линейна по параметрам
2. **Независимость ошибок** —  $\text{Cov}(\varepsilon_i, \varepsilon_j) = 0$  для  $i \neq j$
3. **Гомоскедастичность** —  $\text{Var}(\varepsilon_i) = \sigma^2 = \text{const}$
4. **Нормальность ошибок** —  $\varepsilon \sim \mathcal{N}(0, \sigma^2)$  (для статистических тестов)
5. **Отсутствие мультиколлинеарности** — столбцы  $X$  линейно независимы

### 16.4 Проблема мультиколлинеарности

Если признаки сильно коррелированы, матрица  $X^T X$  плохо обусловлена:

- Большая дисперсия оценок весов
- Неустойчивость решения
- Решение: регуляризация (Ridge) или отбор признаков

### 16.5 Теорема Гаусса-Маркова

При выполнении условий 1-3, МНК-оценка является **BLUE** (Best Linear Unbiased Estimator):

- **Best** — минимальная дисперсия среди всех линейных несмещённых оценок
- **Linear** — линейная функция от  $y$
- **Unbiased** —  $\mathbb{E}[\hat{w}] = w$

## 17 Сингулярное разложение (SVD)

**Сингулярное разложение** (Singular Value Decomposition, SVD) — представление матрицы в виде произведения трёх матриц.

### 17.1 Определение

Для любой матрицы  $A \in \mathbb{R}^{m \times n}$  существует разложение:

$$A = U\Sigma V^T$$

где:

- $U \in \mathbb{R}^{m \times m}$  — ортогональная матрица левых сингулярных векторов
- $\Sigma \in \mathbb{R}^{m \times n}$  — диагональная матрица сингулярных значений
- $V \in \mathbb{R}^{n \times n}$  — ортогональная матрица правых сингулярных векторов

Сингулярные значения  $\sigma_1 \geq \sigma_2 \geq \dots \geq \sigma_r > 0$ , где  $r = \text{rank}(A)$ .

## 17.2 Свойства

- $U^T U = I_m, V^T V = I_n$  (ортогональность)
- Столбцы  $U$  — собственные векторы  $AA^T$
- Столбцы  $V$  — собственные векторы  $A^T A$
- $\sigma_i^2$  — собственные значения  $A^T A$  (и  $AA^T$ )
- $\|A\|_2 = \sigma_1$  — спектральная норма
- $\|A\|_F = \sqrt{\sum_i \sigma_i^2}$  — норма Фробениуса

## 17.3 Усечённое SVD (Truncated SVD)

Приближение матрицы рангом  $k < r$ :

$$A_k = U_k \Sigma_k V_k^T = \sum_{i=1}^k \sigma_i \mathbf{u}_i \mathbf{v}_i^T$$

**Теорема Эккарта-Янга:**  $A_k$  — наилучшее приближение ранга  $k$  в смысле норм  $\|\cdot\|_2$  и  $\|\cdot\|_F$ .

## 17.4 Применения в ML

1. Решение линейных систем:

$$\hat{\mathbf{w}} = V \Sigma^{-1} U^T \mathbf{y}$$

(устойчивее прямого обращения)

2. PCA (метод главных компонент):

$$X = U \Sigma V^T \Rightarrow \text{PC} = X V = U \Sigma$$

3. Снижение размерности: Проекция на  $k$  главных компонент
4. Латентный семантический анализ (LSA): Разложение матрицы документ-терм
5. Рекомендательные системы: Матричная факторизация
6. Сжатие изображений: Аппроксимация низким рангом
7. Псевдообратная матрица:

$$A^+ = V \Sigma^+ U^T$$

## 18 Регуляризация. L1, L2, ElasticNet (расширенное)

### 18.1 Геометрическая интерпретация

Регуляризация эквивалентна решению задачи с ограничением:

**L2 (Ridge):**

$$\min_{\mathbf{w}} \|X\mathbf{w} - \mathbf{y}\|^2 \quad \text{при} \quad \|\mathbf{w}\|_2^2 \leq t$$

Ограничение — шар. Решение обычно не на осях.

**L1 (Lasso):**

$$\min_{\mathbf{w}} \|X\mathbf{w} - \mathbf{y}\|^2 \quad \text{при} \quad \|\mathbf{w}\|_1 \leq t$$

Ограничение — ромб (гиперкуб). Решение часто на вершинах/ребрах  $\Rightarrow$  разреженность.

## 18.2 Аналитические решения

Ridge регрессия:

$$\hat{\mathbf{w}}_{\text{Ridge}} = (X^T X + \lambda I)^{-1} X^T \mathbf{y}$$

Через SVD:  $X = U\Sigma V^T$ :

$$\hat{\mathbf{w}}_{\text{Ridge}} = V(\Sigma^2 + \lambda I)^{-1} \Sigma U^T \mathbf{y}$$

Эффект на сингулярные значения:

$$\hat{w}_j = \frac{\sigma_j^2}{\sigma_j^2 + \lambda} w_j^{\text{OLS}}$$

При больших  $\lambda$  коэффициенты «сжимаются» к нулю.

## 18.3 Байесовская интерпретация

- L2: априорное распределение весов —  $\mathbf{w} \sim \mathcal{N}(0, \tau^2 I)$
- L1: априорное распределение весов — Лапласа:  $p(w_j) \propto e^{-|w_j|/b}$

MAP-оценка (Maximum A Posteriori) при нормальном шуме совпадает с регуляризованным МНК.

## 18.4 Выбор $\lambda$

- Перекрёстная проверка (Cross-Validation)
- Информационные критерии (AIC, BIC)
- L-кривая (L-curve)
- Обобщённая перекрёстная проверка (GCV)

# 19 Линейная классификация. Логистическая регрессия

## 19.1 Линейный классификатор

Линейный классификатор разделяет классы гиперплоскостью:

$$a(\mathbf{x}) = \text{sign}(\mathbf{w}^T \mathbf{x} + b) = \text{sign} \left( \sum_{j=1}^m w_j x_j + b \right)$$

Разделяющая гиперплоскость:  $\mathbf{w}^T \mathbf{x} + b = 0$

Свойства:

- Вектор  $\mathbf{w}$  — нормаль к гиперплоскости
- Расстояние от точки  $\mathbf{x}$  до гиперплоскости:  $\frac{|\mathbf{w}^T \mathbf{x} + b|}{\|\mathbf{w}\|}$
- Отступ (margin):  $M_i = y_i(\mathbf{w}^T \mathbf{x}_i + b)$

## 19.2 Логистическая регрессия

**Логистическая регрессия** — линейный классификатор, предсказывающий вероятность класса.

**Модель:**

$$P(y = 1 | \mathbf{x}) = \sigma(\mathbf{w}^T \mathbf{x}) = \frac{1}{1 + e^{-\mathbf{w}^T \mathbf{x}}}$$

где  $\sigma(z) = \frac{1}{1 + e^{-z}}$  — сигмоидная функция (логистическая функция).

**Свойства сигмоиды:**

- $\sigma(z) \in (0, 1)$
- $\sigma(-z) = 1 - \sigma(z)$
- $\sigma'(z) = \sigma(z)(1 - \sigma(z))$
- $\sigma(0) = 0.5$

## 19.3 Функция потерь

**Лог-правдоподобие** (для  $y \in \{0, 1\}$ ):

$$\ell(\mathbf{w}) = \sum_{i=1}^n [y_i \log \hat{p}_i + (1 - y_i) \log(1 - \hat{p}_i)]$$

**Логистическая функция потерь** (logloss, cross-entropy):

$$L(\mathbf{w}) = -\frac{1}{n} \sum_{i=1}^n [y_i \log \hat{p}_i + (1 - y_i) \log(1 - \hat{p}_i)]$$

Для  $y \in \{-1, +1\}$ :

$$L(\mathbf{w}) = \frac{1}{n} \sum_{i=1}^n \log(1 + e^{-y_i \mathbf{w}^T \mathbf{x}_i})$$

## 19.4 Оптимизация

Аналитического решения нет. Используется:

- Градиентный спуск
- Стохастический градиентный спуск (SGD)
- Метод Ньютона-Рафсона (IRLS)
- L-BFGS

**Градиент:**

$$\nabla L = \frac{1}{n} \sum_{i=1}^n (\hat{p}_i - y_i) \mathbf{x}_i = \frac{1}{n} X^T (\hat{\mathbf{p}} - \mathbf{y})$$

## 19.5 Многоклассовая классификация

**One-vs-Rest (OvR):**

- Обучить  $K$  бинарных классификаторов
- Предсказать класс с максимальной уверенностью

**Multinomial (Softmax) регрессия:**

$$P(y = k | \mathbf{x}) = \frac{e^{\mathbf{w}_k^T \mathbf{x}}}{\sum_{j=1}^K e^{\mathbf{w}_j^T \mathbf{x}}}$$

## 19.6 Регуляризация в логистической регрессии

$$L_{\text{reg}}(\mathbf{w}) = L(\mathbf{w}) + \lambda R(\mathbf{w})$$

- L2:  $R(\mathbf{w}) = \|\mathbf{w}\|_2^2$
- L1:  $R(\mathbf{w}) = \|\mathbf{w}\|_1$
- ElasticNet:  $R(\mathbf{w}) = \alpha \|\mathbf{w}\|_1 + (1 - \alpha) \|\mathbf{w}\|_2^2$

## 20 Градиентный спуск

**Градиентный спуск** (Gradient Descent) — итеративный метод оптимизации для нахождения минимума функции.

### 20.1 Основная идея

Градиент  $\nabla f(\mathbf{w})$  указывает направление наибольшего роста функции. Двигаясь в противоположном направлении, мы уменьшаем значение функции:

$$\mathbf{w}^{(t+1)} = \mathbf{w}^{(t)} - \eta \nabla f(\mathbf{w}^{(t)})$$

где  $\eta > 0$  — **скорость обучения** (learning rate).

### 20.2 Виды градиентного спуска

#### 20.2.1 Batch Gradient Descent (полный)

Градиент вычисляется по всей выборке:

$$\nabla L(\mathbf{w}) = \frac{1}{n} \sum_{i=1}^n \nabla \ell_i(\mathbf{w})$$

**Свойства:**

- Стабильная сходимость
- Высокие вычислительные затраты на итерацию
- Требует хранения всех данных в памяти

## 20.2.2 Stochastic Gradient Descent (SGD)

Градиент вычисляется по одному случайному примеру:

$$\mathbf{w}^{(t+1)} = \mathbf{w}^{(t)} - \eta \nabla \ell_{i_t}(\mathbf{w}^{(t)})$$

**Свойства:**

- Быстрые итерации
- Высокий шум в оценке градиента
- Может выходить из локальных минимумов
- Требует уменьшения  $\eta$  со временем

## 20.2.3 Mini-batch Gradient Descent

Компромисс: градиент по подвыборке размера  $B$ :

$$\nabla L \approx \frac{1}{B} \sum_{i \in \text{batch}} \nabla \ell_i(\mathbf{w})$$

Типичные размеры батча: 32, 64, 128, 256.

## 20.3 Выбор скорости обучения

- **Слишком большая  $\eta$ :** расходимость, осцилляции
- **Слишком маленькая  $\eta$ :** медленная сходимость
- **Расписание** (learning rate schedule): уменьшение  $\eta$  со временем

## 20.4 Продвинутые оптимизаторы

### 20.4.1 Momentum (импульс)

Добавление «инерции» для сглаживания траектории:

$$\begin{aligned} \mathbf{v}^{(t+1)} &= \gamma \mathbf{v}^{(t)} + \eta \nabla L(\mathbf{w}^{(t)}) \\ \mathbf{w}^{(t+1)} &= \mathbf{w}^{(t)} - \mathbf{v}^{(t+1)} \end{aligned}$$

где  $\gamma \approx 0.9$  — коэффициент импульса.

### 20.4.2 AdaGrad

Адаптивная скорость для каждого параметра:

$$w_j^{(t+1)} = w_j^{(t)} - \frac{\eta}{\sqrt{G_{jj}^{(t)} + \varepsilon}} \cdot g_j^{(t)}$$

где  $G_{jj}^{(t)} = \sum_{\tau=1}^t (g_j^{(\tau)})^2$  — накопленная сумма квадратов градиентов.

### 20.4.3 RMSprop

Экспоненциальное скользящее среднее квадратов градиентов:

$$v_j^{(t)} = \beta v_j^{(t-1)} + (1 - \beta)(g_j^{(t)})^2$$

$$w_j^{(t+1)} = w_j^{(t)} - \frac{\eta}{\sqrt{v_j^{(t)} + \varepsilon}} \cdot g_j^{(t)}$$

### 20.4.4 Adam (Adaptive Moment Estimation)

Комбинация momentum и RMSprop:

$$m^{(t)} = \beta_1 m^{(t-1)} + (1 - \beta_1)g^{(t)}$$

$$v^{(t)} = \beta_2 v^{(t-1)} + (1 - \beta_2)(g^{(t)})^2$$

$$\hat{m}^{(t)} = \frac{m^{(t)}}{1 - \beta_1^t}, \quad \hat{v}^{(t)} = \frac{v^{(t)}}{1 - \beta_2^t}$$

$$w^{(t+1)} = w^{(t)} - \frac{\eta}{\sqrt{\hat{v}^{(t)}} + \varepsilon} \hat{m}^{(t)}$$

Типичные значения:  $\beta_1 = 0.9$ ,  $\beta_2 = 0.999$ ,  $\varepsilon = 10^{-8}$ .

## 20.5 Условия сходимости

Для выпуклой функции с липшицевым градиентом:

- GD сходится со скоростью  $O(1/t)$
- Для сильно выпуклых функций:  $O(\rho^t)$  (линейная сходимость)
- SGD:  $O(1/\sqrt{t})$  при убывающем  $\eta_t$

## 21 SoftArgMax. SoftMax

### 21.1 Функция Softmax

**Softmax** — функция, преобразующая вектор вещественных чисел в вектор вероятностей:

$$\text{softmax}(\mathbf{z})_k = \frac{e^{z_k}}{\sum_{j=1}^K e^{z_j}}, \quad k = 1, \dots, K$$

**Свойства:**

- $\text{softmax}(\mathbf{z})_k \in (0, 1)$  для всех  $k$
- $\sum_{k=1}^K \text{softmax}(\mathbf{z})_k = 1$  (нормировка)
- Сохраняет порядок: если  $z_i > z_j$ , то  $\text{softmax}(z)_i > \text{softmax}(z)_j$
- Инвариантна к сдвигу:  $\text{softmax}(\mathbf{z} + c) = \text{softmax}(\mathbf{z})$

## 21.2 Температурный параметр

$$\text{softmax}(\mathbf{z}; T)_k = \frac{e^{z_k/T}}{\sum_{j=1}^K e^{z_j/T}}$$

- $T \rightarrow 0$ : приближается к argmax (жёсткий выбор)
- $T = 1$ : стандартный softmax
- $T \rightarrow \infty$ : равномерное распределение

## 21.3 SoftArgMax

**SoftArgMax** — дифференцируемая аппроксимация функции argmax:

$$\text{softargmax}(\mathbf{z}) = \sum_{k=1}^K k \cdot \text{softmax}(\mathbf{z})_k$$

Возвращает «мягкий» индекс максимального элемента — взвешенную сумму индексов.

**Альтернативная интерпретация:**

$$\text{softargmax}(\mathbf{z}) = \mathbb{E}_{k \sim \text{softmax}(\mathbf{z})}[k]$$

## 21.4 Применение в машинном обучении

1. Многоклассовая классификация:

$$P(y = k | \mathbf{x}) = \text{softmax}(\mathbf{Wx} + \mathbf{b})_k$$

2. Механизм внимания (Attention):

$$\text{Attention}(Q, K, V) = \text{softmax}\left(\frac{QK^T}{\sqrt{d_k}}\right)V$$

3. Выходной слой нейросети для классификации

4. Policy в reinforcement learning

## 21.5 Численная стабильность

Для предотвращения переполнения используют трюк:

$$\text{softmax}(\mathbf{z})_k = \frac{e^{z_k - \max_j z_j}}{\sum_{j=1}^K e^{z_j - \max_j z_j}}$$

## 21.6 Связь с кросс-энтропией

Функция потерь для многоклассовой классификации:

$$L = - \sum_{k=1}^K y_k \log \text{softmax}(\mathbf{z})_k$$

Градиент имеет простой вид:

$$\frac{\partial L}{\partial z_k} = \text{softmax}(\mathbf{z})_k - y_k$$

## 22 Метод опорных векторов (SVM)

**Метод опорных векторов** (Support Vector Machine, SVM) — алгоритм классификации, максимизирующий зазор между классами.

### 22.1 Линейно разделимый случай

Для линейно разделимых данных ищем гиперплоскость  $\mathbf{w}^T \mathbf{x} + b = 0$ , максимизирующую зазор (margin).

**Зазор** — расстояние от гиперплоскости до ближайших точек каждого класса:

$$\text{margin} = \frac{2}{\|\mathbf{w}\|}$$

**Задача оптимизации:**

$$\min_{\mathbf{w}, b} \frac{1}{2} \|\mathbf{w}\|^2$$

$$\text{при } y_i(\mathbf{w}^T \mathbf{x}_i + b) \geq 1, \quad i = 1, \dots, n$$

### 22.2 Опорные векторы

**Опорные векторы** — точки, лежащие на границе зазора:

$$y_i(\mathbf{w}^T \mathbf{x}_i + b) = 1$$

- Только опорные векторы определяют решение
- Удаление других точек не изменит гиперплоскость
- Обычно опорных векторов немного

### 22.3 Мягкий зазор (Soft Margin)

Для линейно неразделимых данных вводятся **slack-переменные**  $\xi_i \geq 0$ :

$$\min_{\mathbf{w}, b, \xi} \frac{1}{2} \|\mathbf{w}\|^2 + C \sum_{i=1}^n \xi_i$$

$$\text{при } y_i(\mathbf{w}^T \mathbf{x}_i + b) \geq 1 - \xi_i, \quad \xi_i \geq 0$$

**Параметр  $C$ :**

- Большое  $C$ : жёсткий зазор, меньше ошибок на обучении
- Малое  $C$ : мягкий зазор, лучшее обобщение

### 22.4 Двойственная задача

Через множители Лагранжа  $\alpha_i \geq 0$ :

$$\max_{\alpha} \sum_{i=1}^n \alpha_i - \frac{1}{2} \sum_{i,j=1}^n \alpha_i \alpha_j y_i y_j \mathbf{x}_i^T \mathbf{x}_j$$

$$\text{при } \sum_{i=1}^n \alpha_i y_i = 0, \quad 0 \leq \alpha_i \leq C$$

**Решение:**

$$\mathbf{w} = \sum_{i=1}^n \alpha_i y_i \mathbf{x}_i$$

**Предсказание:**

$$f(\mathbf{x}) = \text{sign} \left( \sum_{i:\alpha_i > 0} \alpha_i y_i \mathbf{x}_i^T \mathbf{x} + b \right)$$

## 22.5 Функции потерь SVM

Hinge loss (кусочно-линейная):

$$\ell(y, f(\mathbf{x})) = \max(0, 1 - y \cdot f(\mathbf{x})) = (1 - y \cdot f(\mathbf{x}))_+$$

SVM минимизирует:

$$\frac{1}{n} \sum_{i=1}^n \max(0, 1 - y_i (\mathbf{w}^T \mathbf{x}_i + b)) + \frac{\lambda}{2} \|\mathbf{w}\|^2$$

## 23 Ядро для метода опорных векторов

### 23.1 Ядерный трюк (Kernel Trick)

Двойственная задача SVM зависит только от скалярных произведений  $\mathbf{x}_i^T \mathbf{x}_j$ .

**Идея:** заменить скалярное произведение на **ядерную функцию**:

$$K(\mathbf{x}_i, \mathbf{x}_j) = \phi(\mathbf{x}_i)^T \phi(\mathbf{x}_j)$$

где  $\phi : \mathbb{R}^m \rightarrow \mathcal{H}$  — отображение в пространство признаков (возможно, бесконечномерное).

**Преимущество:** не нужно явно вычислять  $\phi(\mathbf{x})$ !

### 23.2 Условие Мерсера

Функция  $K(\mathbf{x}, \mathbf{x}')$  является допустимым ядром, если:

- $K$  симметрична:  $K(\mathbf{x}, \mathbf{x}') = K(\mathbf{x}', \mathbf{x})$
- Матрица Грама  $K_{ij} = K(\mathbf{x}_i, \mathbf{x}_j)$  положительно полуопределенна для любого набора точек

### 23.3 Популярные ядра

1. **Линейное ядро:**

$$K(\mathbf{x}, \mathbf{x}') = \mathbf{x}^T \mathbf{x}'$$

2. **Полиномиальное ядро:**

$$K(\mathbf{x}, \mathbf{x}') = (\gamma \mathbf{x}^T \mathbf{x}' + r)^d$$

где  $d$  — степень полинома,  $\gamma, r$  — параметры.

3. **RBF (Radial Basis Function) / Гауссово ядро:**

$$K(\mathbf{x}, \mathbf{x}') = \exp(-\gamma \|\mathbf{x} - \mathbf{x}'\|^2) = \exp\left(-\frac{\|\mathbf{x} - \mathbf{x}'\|^2}{2\sigma^2}\right)$$

Соответствует бесконечномерному пространству признаков.

4. **Сигмоидное ядро:**

$$K(\mathbf{x}, \mathbf{x}') = \tanh(\gamma \mathbf{x}^T \mathbf{x}' + r)$$

(не всегда положительно определено)

## 23.4 Выбор ядра и параметров

- RBF — универсальный выбор, хорошо работает в большинстве случаев
- Малое  $\gamma$  в RBF: гладкая граница, возможно недообучение
- Большое  $\gamma$ : сложная граница, возможно переобучение
- Подбор  $C$  и  $\gamma$  через перекрёстную проверку

## 23.5 Свойства ядер

Если  $K_1$  и  $K_2$  — допустимые ядра, то:

- $K_1 + K_2$  — ядро
- $c \cdot K_1$  для  $c > 0$  — ядро
- $K_1 \cdot K_2$  — ядро
- $f(\mathbf{x})K_1(\mathbf{x}, \mathbf{x}')f(\mathbf{x}')$  — ядро

# 24 Формула Байеса. Наивный байесовский классификатор

## 24.1 Формула Байеса

Теорема Байеса связывает условные вероятности:

$$P(A|B) = \frac{P(B|A) \cdot P(A)}{P(B)}$$

В контексте классификации:

$$P(y|\mathbf{x}) = \frac{P(\mathbf{x}|y) \cdot P(y)}{P(\mathbf{x})}$$

**Терминология:**

- $P(y)$  — **априорная** вероятность (prior)
- $P(\mathbf{x}|y)$  — **правдоподобие** (likelihood)
- $P(y|\mathbf{x})$  — **апостериорная** вероятность (posterior)
- $P(\mathbf{x})$  — **свидетельство** (evidence), нормировочная константа

## 24.2 Байесовский классификатор

**Оптимальный байесовский классификатор** предсказывает класс с максимальной апостериорной вероятностью:

$$\hat{y} = \arg \max_y P(y|\mathbf{x}) = \arg \max_y P(\mathbf{x}|y)P(y)$$

(знаменатель  $P(\mathbf{x})$  не зависит от  $y$ )

## 24.3 Наивный байесовский классификатор

**Предположение наивного Байеса:** признаки условно независимы при известном классе:

$$P(\mathbf{x}|y) = P(x_1, x_2, \dots, x_m|y) = \prod_{j=1}^m P(x_j|y)$$

**Классификатор:**

$$\hat{y} = \arg \max_y P(y) \prod_{j=1}^m P(x_j|y)$$

Для численной стабильности используют логарифм:

$$\hat{y} = \arg \max_y \left[ \log P(y) + \sum_{j=1}^m \log P(x_j|y) \right]$$

## 24.4 Виды наивного Байеса

### 24.4.1 Categorical (Multinomial) Naive Bayes

Для категориальных признаков или счётчиков слов:

$$P(x_j = v|y = c) = \frac{N_{c_jv} + \alpha}{N_c + \alpha|V_j|}$$

где  $N_{c_jv}$  — количество примеров класса  $c$  с  $x_j = v$ .

### 24.4.2 Gaussian Naive Bayes

Для непрерывных признаков с нормальным распределением:

$$P(x_j|y = c) = \frac{1}{\sqrt{2\pi\sigma_{cj}^2}} \exp\left(-\frac{(x_j - \mu_{cj})^2}{2\sigma_{cj}^2}\right)$$

### 24.4.3 Bernoulli Naive Bayes

Для бинарных признаков:

$$P(\mathbf{x}|y = c) = \prod_{j=1}^m p_{cj}^{x_j} (1 - p_{cj})^{1-x_j}$$

## 24.5 Преимущества и недостатки

**Преимущества:**

- Простота и быстрота обучения:  $O(nm)$
- Хорошо работает при малом объёме данных
- Устойчив к нерелевантным признакам
- Интерпретируемость

**Недостатки:**

- Предположение независимости часто нарушается
- Плохо калиброванные вероятности
- Проблема нулевых вероятностей (решается сглаживанием)

## 25 Оценка плотности. Сглаживание Лапласа

### 25.1 Оценка плотности

**Оценка плотности** (Density Estimation) — задача восстановления функции плотности распределения по выборке.

**Параметрические методы:**

- Предполагают определённое семейство распределений
- Оценивают параметры (например,  $\mu$ ,  $\sigma$  для нормального)
- MLE, метод моментов

**Непараметрические методы:**

- Не предполагают конкретную форму распределения
- Гистограмма, ядерная оценка плотности (KDE)

### 25.2 Проблема нулевых вероятностей

В наивном Байесе, если значение признака не встречалось в обучающей выборке:

$$P(x_j = v | y = c) = 0 \Rightarrow P(y = c | \mathbf{x}) = 0$$

Одно ненаблюдавшееся значение полностью «убивает» класс!

### 25.3 Сглаживание Лапласа (Additive Smoothing)

**Сглаживание Лапласа** — добавление псевдосчётов для предотвращения нулевых вероятностей:

$$P(x_j = v | y = c) = \frac{N_{c_jv} + \alpha}{N_c + \alpha|V_j|}$$

где:

- $N_{c_jv}$  — количество наблюдений ( $x_j = v, y = c$ )
- $N_c$  — общее количество примеров класса  $c$
- $|V_j|$  — количество возможных значений признака  $x_j$
- $\alpha > 0$  — параметр сглаживания

**Частные случаи:**

- $\alpha = 1$  — сглаживание Лапласа (Laplace smoothing)
- $\alpha = 0.5$  — сглаживание Джейфриса (Jeffreys)
- $\alpha < 1$  — сглаживание Лидстоуна (Lidstone)

### 25.4 Байесовская интерпретация

Сглаживание Лапласа эквивалентно байесовской оценке с априорным распределением Дирихле:

$$\boldsymbol{\theta} \sim \text{Dir}(\alpha, \alpha, \dots, \alpha)$$

При  $\alpha = 1$  это равномерное априорное распределение.

## 25.5 Сглаживание для текстов

Для модели мешка слов:

$$P(w|c) = \frac{\text{count}(w, c) + \alpha}{\sum_{w' \in V} \text{count}(w', c) + \alpha |V|}$$

где  $|V|$  — размер словаря.

# 26 Сезонность, периодичность, тренд, стационарность

Основные компоненты временных рядов.

## 26.1 Тренд (Trend)

Тренд — долгосрочная тенденция изменения временного ряда.

**Типы трендов:**

- Линейный:  $T_t = a + bt$
- Полиномиальный:  $T_t = a_0 + a_1 t + a_2 t^2 + \dots$
- Экспоненциальный:  $T_t = a \cdot e^{bt}$
- Логистический (S-образный)

**Выделение тренда:**

- Скользящее среднее
- Регрессия на время
- Экспоненциальное сглаживание
- Разностный оператор:  $\nabla y_t = y_t - y_{t-1}$

## 26.2 Сезонность (Seasonality)

Сезонность — периодические колебания с фиксированным периодом.

**Характеристики:**

- Период известен заранее (день, неделя, год)
- Регулярное повторение паттерна
- Примеры: продажи мороженого летом, трафик в часы пик

**Модели сезонности:**

- **Аддитивная:**  $Y_t = T_t + S_t + \varepsilon_t$
- **Мультипликативная:**  $Y_t = T_t \cdot S_t \cdot \varepsilon_t$

## 26.3 Периодичность (Cyclicity)

Цикличность — колебания с непостоянным или неизвестным периодом.

- Период может меняться
- Связана с экономическими/бизнес-циклами
- Труднее моделировать, чем сезонность

## 26.4 Стационарность (Stationarity)

**Стационарный процесс** — статистические свойства не меняются со временем.

**Слабая (ковариационная) стационарность:**

1.  $\mathbb{E}[Y_t] = \mu = \text{const}$  (постоянное среднее)
2.  $\text{Var}(Y_t) = \sigma^2 = \text{const}$  (постоянная дисперсия)
3.  $\text{Cov}(Y_t, Y_{t+h}) = \gamma(h)$  (автоковариация зависит только от лага  $h$ )

**Проверка стационарности:**

- Визуальный анализ графика
- Тест Дики-Фуллера (ADF test)
- KPSS тест
- Анализ автокорреляционной функции (ACF)

**Приведение к стационарности:**

- Дифференцирование:  $\nabla y_t = y_t - y_{t-1}$
- Логарифмирование (для стабилизации дисперсии)
- Сезонное дифференцирование:  $\nabla_s y_t = y_t - y_{t-s}$

## 27 AR. MA. ARMA. ARIMA. SARIMA

Семейство моделей для анализа и прогнозирования временных рядов.

### 27.1 AR (Autoregressive) — авторегрессия

**AR( $p$ )** — модель, где текущее значение зависит от  $p$  предыдущих:

$$Y_t = c + \phi_1 Y_{t-1} + \phi_2 Y_{t-2} + \dots + \phi_p Y_{t-p} + \varepsilon_t$$

или в операторной форме:

$$\Phi(L)Y_t = c + \varepsilon_t$$

где  $\Phi(L) = 1 - \phi_1 L - \dots - \phi_p L^p$ ,  $L$  — оператор лага ( $LY_t = Y_{t-1}$ ).

**Условие стационарности:** корни характеристического уравнения  $\Phi(z) = 0$  по модулю больше 1.

**Свойства ACF и PACF:**

- ACF: экспоненциальное/колебательное затухание
- PACF: обрывается после лага  $p$

## 27.2 MA (Moving Average) — скользящее среднее

MA( $q$ ) — модель, где текущее значение зависит от  $q$  предыдущих ошибок:

$$Y_t = c + \varepsilon_t + \theta_1 \varepsilon_{t-1} + \dots + \theta_q \varepsilon_{t-q}$$

или:

$$Y_t = c + \Theta(L) \varepsilon_t$$

где  $\Theta(L) = 1 + \theta_1 L + \dots + \theta_q L^q$ .

**Свойства:**

- Всегда стационарна
- ACF: обрывается после лага  $q$
- PACF: экспоненциальное затухание

## 27.3 ARMA — авторегрессия со скользящим средним

ARMA( $p, q$ ) — комбинация AR( $p$ ) и MA( $q$ ):

$$Y_t = c + \sum_{i=1}^p \phi_i Y_{t-i} + \varepsilon_t + \sum_{j=1}^q \theta_j \varepsilon_{t-j}$$

$$\Phi(L)Y_t = c + \Theta(L)\varepsilon_t$$

Применима только к стационарным рядам.

## 27.4 ARIMA — интегрированная ARMA

ARIMA( $p, d, q$ ) — ARMA после  $d$ -кратного дифференцирования:

$$\Phi(L)(1 - L)^d Y_t = c + \Theta(L)\varepsilon_t$$

- $p$  — порядок авторегрессии
- $d$  — порядок интегрирования (число дифференций)
- $q$  — порядок скользящего среднего

**Выбор параметров:**

- $d$ : по тесту ADF или визуально
- $p, q$ : по ACF/PACF или информационным критериям (AIC, BIC)

## 27.5 SARIMA — сезонная ARIMA

SARIMA( $p, d, q$ )( $P, D, Q$ ) $_s$  — ARIMA с сезонной компонентой:

$$\Phi(L)\Phi_s(L^s)(1 - L)^d(1 - L^s)^D Y_t = c + \Theta(L)\Theta_s(L^s)\varepsilon_t$$

где:

- $(p, d, q)$  — несезонные параметры
- $(P, D, Q)$  — сезонные параметры
- $s$  — период сезонности (12 для месячных данных с годовой сезонностью)

## 27.6 Процедура Бокса-Дженкинса

1. **Идентификация:** анализ ACF/PACF, тесты стационарности
2. **Оценка:** подбор параметров (MLE)
3. **Диагностика:** анализ остатков (должны быть белым шумом)
4. **Прогнозирование:** если модель адекватна

## 28 n-граммы, ВРЕ, word2vec

Методы представления текстов и слов.

### 28.1 n-граммы

**n-грамма** — последовательность из  $n$  элементов (символов или слов).

**Примеры** (для текста «машиное обучение»):

- Символьные биграммы: «ма», «аш», «ши», «ин», ...
- Символьные триграмммы: «маш», «аши», «шин», ...
- Словесные биграммы: («машиное», «обучение»)

**Языковая модель на n-граммах:**

$$P(w_t | w_1, \dots, w_{t-1}) \approx P(w_t | w_{t-n+1}, \dots, w_{t-1})$$

**Применение:**

- Представление текстов (Bag of n-grams)
- Языковое моделирование
- Определение языка
- Детекция опечаток

### 28.2 ВРЕ (Byte Pair Encoding)

**ВРЕ** — алгоритм сегментации текста на под слова.

**Алгоритм обучения:**

1. Начать со словаря отдельных символов
2. Найти наиболее частую пару соседних токенов
3. Объединить их в новый токен
4. Повторять до достижения нужного размера словаря

**Пример:** «low», «lower», «lowest» → «low», «low» + «er», «low» + «est»

**Преимущества:**

- Фиксированный размер словаря
- Нет проблемы OOV (out-of-vocabulary)
- Баланс между символами и словами
- Используется в GPT, RoBERTa

**Варианты:** WordPiece (BERT), Unigram (SentencePiece)

## 28.3 Word2Vec

**Word2Vec** — метод обучения плотных векторных представлений слов.

Идея: слова с похожим контекстом должны иметь похожие векторы.

### 28.3.1 Skip-gram

Предсказание контекста по центральному слову:

$$P(w_{\text{context}}|w_{\text{center}}) = \frac{\exp(\mathbf{v}_{w_c}^T \mathbf{v}_{w_t})}{\sum_{w \in V} \exp(\mathbf{v}_w^T \mathbf{v}_{w_t})}$$

Функция потерь:

$$L = - \sum_{t=1}^T \sum_{-c \leq j \leq c, j \neq 0} \log P(w_{t+j}|w_t)$$

### 28.3.2 CBOW (Continuous Bag of Words)

Предсказание центрального слова по контексту:

$$P(w_{\text{center}}|w_{\text{context}})$$

### 28.3.3 Оптимизации

- **Negative Sampling**: вместо softmax по всему словарю — бинарная классификация
- **Hierarchical Softmax**: дерево Хаффмана для ускорения
- **Subsampling**: прореживание частых слов

## 28.4 Свойства word2vec

Семантическая арифметика:

$$\vec{\text{king}} - \vec{\text{man}} + \vec{\text{woman}} \approx \vec{\text{queen}}$$

Параметры:

- Размерность векторов (100-300)
- Размер окна контекста (5-10)
- Минимальная частота слова

Альтернативы: GloVe, FastText, ELMo, BERT

## 29 Лемматизация и стемминг

Методы нормализации слов для обработки естественного языка.

## 29.1 Стемминг (Stemming)

Стемминг — отсечение окончаний и суффиксов для получения основы слова.

**Особенности:**

- Использует эвристические правила
- Быстрый, не требует словаря
- Результат может не быть реальным словом
- Может давать ошибки (over-stemming, under-stemming)

**Популярные стеммеры:**

- **Porter Stemmer** — классический для английского
- **Snowball** — многоязычный
- **Lancaster** — агрессивный
- **Mystem** — для русского (Яндекс)

**Пример (Porter):**

- «running» → «run»
- «studies» → «studi»
- «presumably» → «presum»

## 29.2 Лемматизация (Lemmatization)

Лемматизация — приведение слова к начальной форме (лемме) с учётом морфологии.

**Особенности:**

- Требует морфологического анализа
- Использует словари и правила языка
- Результат — реальное слово
- Медленнее стемминга
- Точнее стемминга

**Инструменты:**

- **WordNet Lemmatizer (NLTK)**
- **spaCy**
- **pymorphy2** — для русского
- **Mystem** — для русского

**Пример:**

- «running» → «run»
- «better» → «good»
- «studies» → «study»
- «шёл» → «идти»

### 29.3 Сравнение

Критерий	Стемминг	Лемматизация
Скорость	Быстрый	Медленный
Точность	Низкая	Высокая
Результат	Основа (не слово)	Лемма (слово)
Требования	Правила	Словарь + правила
Учёт контекста	Нет	Частично

### 29.4 Выбор метода

- **Стемминг:** поиск, IR-системы, когда важна скорость
- **Лемматизация:** анализ текста, когда важна точность
- Современные модели (BERT) часто не требуют явной нормализации

## 30 Деревья принятия решений

Дерево решений (Decision Tree) — модель, представляющая последовательность условий в виде древовидной структуры.

### 30.1 Структура дерева

- **Корень** — начальный узел
- **Внутренние узлы** — условия разбиения (предикаты вида  $x_j < t$ )
- **Рёбра** — результаты проверки условий
- **Листья** — финальные предсказания (класс или значение)

### 30.2 Критерии разбиения для классификации

#### 30.2.1 Энтропия и Information Gain

Энтропия — мера неопределённости:

$$H(S) = - \sum_{k=1}^K p_k \log_2 p_k$$

где  $p_k$  — доля примеров класса  $k$  в выборке  $S$ .

Information Gain — уменьшение энтропии после разбиения:

$$IG(S, A) = H(S) - \sum_{v \in \text{values}(A)} \frac{|S_v|}{|S|} H(S_v)$$

#### 30.2.2 Индекс Джини (Gini Impurity)

$$Gini(S) = 1 - \sum_{k=1}^K p_k^2 = \sum_{k=1}^K p_k(1 - p_k)$$

Интерпретация: вероятность неправильной классификации случайного примера.

### 30.2.3 Сравнение критериев

- Gini вычислительно проще (нет логарифма)
- Энтропия более чувствительна к изменению распределения
- На практике дают схожие результаты

## 30.3 Критерии для регрессии

MSE (дисперсия):

$$\text{MSE}(S) = \frac{1}{|S|} \sum_{i \in S} (y_i - \bar{y}_S)^2$$

MAE:

$$\text{MAE}(S) = \frac{1}{|S|} \sum_{i \in S} |y_i - \text{median}(S)|$$

## 30.4 Алгоритмы построения

- ID3 — только категориальные признаки, Information Gain
- C4.5 — числовые признаки, Gain Ratio (нормализованный IG)
- CART — бинарные деревья, Gini или MSE

## 30.5 Регуляризация деревьев

Для предотвращения переобучения:

- `max_depth` — максимальная глубина
- `min_samples_split` — минимум примеров для разбиения
- `min_samples_leaf` — минимум примеров в листе
- `max_leaf_nodes` — максимальное число листьев
- `Pruning` (обрезка) — удаление поддеревьев после построения

## 30.6 Преимущества и недостатки

Преимущества:

- Интерпретируемость
- Работа с разными типами данных
- Не требует масштабирования
- Инвариантность к монотонным преобразованиям
- Автоматический отбор признаков

Недостатки:

- Склонность к переобучению

- Нестабильность (малое изменение данных — другое дерево)
- Жадный алгоритм (локальный оптимум)
- Плохо аппроксимируют гладкие функции

## 31 Ансамбли. Бэггинг и стэкинг

**Ансамблевые методы** — объединение нескольких моделей для улучшения качества предсказаний.

### 31.1 Идея ансамблей

**Мудрость толпы:** усреднение независимых предсказаний уменьшает дисперсию ошибки.

Для  $M$  независимых моделей с одинаковой дисперсией  $\sigma^2$ :

$$\text{Var} \left( \frac{1}{M} \sum_{m=1}^M f_m \right) = \frac{\sigma^2}{M}$$

### 31.2 Бэггинг (Bootstrap Aggregating)

**Алгоритм:**

1. Создать  $M$  бутстреп-выборок (с возвращением) из обучающих данных
2. Обучить модель на каждой выборке
3. Агрегировать предсказания:
  - Классификация: голосование большинством
  - Регрессия: усреднение

$$\hat{f}(x) = \frac{1}{M} \sum_{m=1}^M f_m(x)$$

**Out-of-Bag (OOB) оценка:**

- Примерно 37% примеров не попадают в каждую бутстреп-выборку
- Можно использовать для валидации без отложенной выборки

#### 31.2.1 Random Forest

**Случайный лес** — бэггинг деревьев решений с дополнительной рандомизацией:

- В каждом узле рассматривается случайное подмножество признаков (обычно  $\sqrt{m}$  для классификации,  $m/3$  для регрессии)
- Деревья строятся до максимальной глубины (без обрезки)

**Свойства:**

- Снижает корреляцию между деревьями
- Устойчив к переобучению
- Важность признаков (feature importance)

### 31.3 Стэкинг (Stacking)

Стэкинг — обучение мета-модели на предсказаниях базовых моделей.

**Алгоритм:**

1. Обучить  $M$  разнородных базовых моделей (level-0)
2. Получить их предсказания на валидационной выборке
3. Обучить мета-модель (level-1) на этих предсказаниях

**Важно:** использовать out-of-fold предсказания для обучения мета-модели (избежать утечки данных).

**Мета-признаки:**

- Предсказания базовых моделей
- Вероятности классов
- Можно добавить исходные признаки

### 31.4 Сравнение методов

Метод	Цель	Модели	Агрегация
Бэггинг	Снижение дисперсии	Однородные	Голосование/среднее
Стэкинг	Снижение смещения	Разнородные	Мета-модель
Бустинг	Снижение смещения	Последовательные	Взвешенная сумма

## 32 Задача бустинга и градиентный бустинг

### 32.1 Идея бустинга

Бустинг — последовательное построение ансамбля, где каждая следующая модель исправляет ошибки предыдущих.

$$F_M(x) = \sum_{m=1}^M \gamma_m h_m(x)$$

где  $h_m$  — базовые (слабые) модели,  $\gamma_m$  — их веса.

### 32.2 AdaBoost (Adaptive Boosting)

**Алгоритм:**

1. Инициализировать веса примеров:  $w_i^{(1)} = 1/n$
2. Для  $m = 1, \dots, M$ :
  - Обучить слабый классификатор  $h_m$  на взвешенной выборке
  - Вычислить взвешенную ошибку:  $\varepsilon_m = \sum_{i:h_m(x_i) \neq y_i} w_i^{(m)}$
  - Вычислить вес модели:  $\alpha_m = \frac{1}{2} \ln \frac{1 - \varepsilon_m}{\varepsilon_m}$
  - Обновить веса:  $w_i^{(m+1)} \propto w_i^{(m)} \exp(-\alpha_m y_i h_m(x_i))$
3. Итоговый классификатор:  $F(x) = \text{sign} \left( \sum_{m=1}^M \alpha_m h_m(x) \right)$

### 32.3 Градиентный бустинг

**Gradient Boosting** — обобщение бустинга через градиентный спуск в функциональном пространстве.

**Идея:** каждая следующая модель обучается предсказывать антиградиент функции потерь.

**Алгоритм:**

1. Инициализация:  $F_0(x) = \arg \min_{\gamma} \sum_{i=1}^n L(y_i, \gamma)$

2. Для  $m = 1, \dots, M$ :

- Вычислить псевдо-остатки (отрицательный градиент):

$$r_{im} = - \left[ \frac{\partial L(y_i, F(x_i))}{\partial F(x_i)} \right]_{F=F_{m-1}}$$

- Обучить базовую модель  $h_m$  на  $(x_i, r_{im})$
- Найти оптимальный шаг:  $\gamma_m = \arg \min_{\gamma} \sum_{i=1}^n L(y_i, F_{m-1}(x_i) + \gamma h_m(x_i))$
- Обновить:  $F_m(x) = F_{m-1}(x) + \eta \gamma_m h_m(x)$

где  $\eta$  — скорость обучения (shrinkage).

**Псевдо-остатки для разных функций потерь:**

- MSE:  $r_i = y_i - F(x_i)$  (обычные остатки)
- MAE:  $r_i = \text{sign}(y_i - F(x_i))$
- Logistic:  $r_i = y_i - \sigma(F(x_i))$

### 32.4 Популярные реализации

- **XGBoost** — регуляризация, параллелизация, работа с пропусками
- **LightGBM** — leaf-wise рост, категориальные признаки, гистограммы
- **CatBoost** — ordered boosting, обработка категориальных признаков

### 32.5 Гиперпараметры градиентного бустинга

- **n\_estimators** — количество деревьев
- **learning\_rate ( $\eta$ )** — скорость обучения
- **max\_depth** — глубина деревьев
- **subsample** — доля примеров для каждого дерева
- **colsample\_bytree** — доля признаков
- **reg\_alpha, reg\_lambda** — L1/L2 регуляризация

## 33 Задача кластеризации. Внешние и внутренние меры

### 33.1 Задача кластеризации

Кластеризация — разбиение объектов на группы (кластеры) так, чтобы:

- Объекты внутри кластера были похожи друг на друга
- Объекты из разных кластеров были различны

Это задача **обучения без учителя** — метки классов неизвестны.

### 33.2 Типы кластеризации

- **Жёсткая** (hard): каждый объект принадлежит ровно одному кластеру
- **Мягкая** (soft/fuzzy): объект может принадлежать нескольким кластерам с разными степенями
- **Иерархическая**: кластеры образуют дерево (дендограмму)

### 33.3 Внешние меры качества

Используются, когда известна истинная разметка (ground truth).

#### 33.3.1 Rand Index (RI)

$$RI = \frac{a + d}{a + b + c + d} = \frac{a + d}{\binom{n}{2}}$$

где:

- $a$  — пары, в одном кластере в обеих разметках
- $d$  — пары, в разных кластерах в обеих разметках
- $b, c$  — пары с расхождением разметок

#### 33.3.2 Adjusted Rand Index (ARI)

Скорректированный на случайность:

$$ARI = \frac{RI - \mathbb{E}[RI]}{\max(RI) - \mathbb{E}[RI]}$$

- $ARI = 1$ : идеальное совпадение
- $ARI = 0$ : случайная разметка
- $ARI < 0$ : хуже случайного

#### 33.3.3 Normalized Mutual Information (NMI)

$$NMI = \frac{2 \cdot I(U; V)}{H(U) + H(V)}$$

где  $I(U; V)$  — взаимная информация,  $H$  — энтропия.

### 33.3.4 Другие внешние меры

- **Homogeneity**: все объекты кластера из одного класса
- **Completeness**: все объекты класса в одном кластере
- **V-measure**: гармоническое среднее homogeneity и completeness
- **Fowlkes-Mallows Index**

## 33.4 Внутренние меры качества

Используются, когда истинная разметка неизвестна.

### 33.4.1 Silhouette Score

Для объекта  $i$ :

$$s(i) = \frac{b(i) - a(i)}{\max(a(i), b(i))}$$

где:

- $a(i)$  — среднее расстояние до объектов своего кластера
- $b(i)$  — минимальное среднее расстояние до объектов другого кластера

$s(i) \in [-1, 1]$ : чем больше, тем лучше.

Общий score:  $\bar{s} = \frac{1}{n} \sum_i s(i)$

### 33.4.2 Индекс Дэвиса-Болдина (Davies-Bouldin Index)

$$DB = \frac{1}{K} \sum_{i=1}^K \max_{j \neq i} \frac{\sigma_i + \sigma_j}{d(c_i, c_j)}$$

где  $\sigma_i$  — средний разброс в кластере  $i$ ,  $d(c_i, c_j)$  — расстояние между центроидами.  
Чем меньше DB, тем лучше.

### 33.4.3 Индекс Калински-Харабаса (Calinski-Harabasz)

$$CH = \frac{B/(K-1)}{W/(n-K)}$$

где  $B$  — межкластерная дисперсия,  $W$  — внутрикластерная дисперсия.  
Чем больше CH, тем лучше.

### 33.4.4 Метод локтя (Elbow Method)

График зависимости внутрикластерной суммы квадратов от числа кластеров  $K$ . Ищут «локоть» — точку замедления убывания.

## 34 ЕМ-алгоритмы. Алгоритм k-Means

### 34.1 Алгоритм k-Means

**k-Means** — итеративный алгоритм кластеризации, минимизирующий внутрикластерную дисперсию.

**Целевая функция (инерция):**

$$J = \sum_{k=1}^K \sum_{i \in C_k} \|x_i - \mu_k\|^2$$

**Алгоритм:**

1. Инициализация: выбрать  $K$  начальных центроидов  $\mu_1, \dots, \mu_K$
2. Е-шаг (assignment): присвоить каждый объект ближайшему центроиду:

$$c_i = \arg \min_k \|x_i - \mu_k\|^2$$

3. М-шаг (update): пересчитать центроиды:

$$\mu_k = \frac{1}{|C_k|} \sum_{i \in C_k} x_i$$

4. Повторять 2-3 до сходимости

**Свойства:**

- Сходится за конечное число итераций
- Находит локальный минимум (зависит от инициализации)
- Сложность:  $O(n \cdot K \cdot d \cdot T)$

#### 34.1.1 Инициализация k-Means++

Улучшенная инициализация центроидов:

1. Выбрать первый центроид случайно
  2. Для каждого следующего центроида выбрать точку с вероятностью пропорциональной  $d^2(x, \mu)$
- Гарантирует  $O(\log K)$ -аппроксимацию оптимума.

### 34.2 ЕМ-алгоритм (Expectation-Maximization)

**ЕМ-алгоритм** — итеративный метод для нахождения MLE при наличии скрытых переменных.

**Задача:** максимизировать неполное правдоподобие:

$$L(\theta) = \log p(X|\theta) = \log \sum_Z p(X, Z|\theta)$$

**Алгоритм:**

1. Е-шаг: вычислить апостериорное распределение скрытых переменных:

$$Q(Z) = p(Z|X, \theta^{(t)})$$

2. **M-шаг:** максимизировать ожидаемое полное правдоподобие:

$$\theta^{(t+1)} = \arg \max_{\theta} \mathbb{E}_{Z \sim Q} [\log p(X, Z | \theta)]$$

**Свойства:**

- Монотонно увеличивает правдоподобие
- Сходится к локальному максимуму
- k-Means — частный случай EM для смеси гауссиан с фиксированными дисперсиями

### 34.3 Gaussian Mixture Models (GMM)

**Смесь гауссиан:**

$$p(x) = \sum_{k=1}^K \pi_k \mathcal{N}(x | \mu_k, \Sigma_k)$$

где  $\pi_k$  — веса компонент,  $\sum_k \pi_k = 1$ .

**EM для GMM:**

- E-шаг: вычислить ответственности (responsibilities):

$$\gamma_{ik} = \frac{\pi_k \mathcal{N}(x_i | \mu_k, \Sigma_k)}{\sum_j \pi_j \mathcal{N}(x_i | \mu_j, \Sigma_j)}$$

- M-шаг: обновить параметры:

$$\begin{aligned} \mu_k &= \frac{\sum_i \gamma_{ik} x_i}{\sum_i \gamma_{ik}}, & \Sigma_k &= \frac{\sum_i \gamma_{ik} (x_i - \mu_k)(x_i - \mu_k)^T}{\sum_i \gamma_{ik}} \\ \pi_k &= \frac{1}{n} \sum_i \gamma_{ik} \end{aligned}$$

## 35 Графовые и плотностные алгоритмы кластеризации

### 35.1 DBSCAN (Density-Based Spatial Clustering)

**DBSCAN** — плотностный алгоритм, находящий кластеры произвольной формы.

**Параметры:**

- $\varepsilon$  (eps) — радиус окрестности
- MinPts — минимальное число точек в  $\varepsilon$ -окрестности

**Типы точек:**

- **Core point:** в  $\varepsilon$ -окрестности  $\geq$  MinPts точек
- **Border point:** в  $\varepsilon$ -окрестности core point, но сама не core
- **Noise point:** ни core, ни border

**Алгоритм:**

1. Найти все core points
2. Соединить core points, находящиеся в  $\varepsilon$ -окрестности друг друга
3. Каждая связная компонента — кластер
4. Присоединить border points к ближайшим кластерам

**Преимущества:**

- Не требует задания числа кластеров
- Находит кластеры произвольной формы
- Устойчив к выбросам (выделяет их как noise)

**Недостатки:**

- Чувствителен к выбору  $\varepsilon$  и MinPts
- Плохо работает с кластерами разной плотности
- Сложность  $O(n^2)$  без пространственного индекса

## 35.2 HDBSCAN

HDBSCAN — иерархическая версия DBSCAN:

- Строит иерархию кластеров для разных  $\varepsilon$
- Автоматически выбирает оптимальные кластеры
- Работает с кластерами разной плотности

## 35.3 Иерархическая кластеризация

Агломеративная (снизу вверх):

1. Каждый объект — отдельный кластер
2. На каждом шаге объединяем два ближайших кластера
3. Повторяем до одного кластера

**Методы связывания** (linkage):

- **Single:**  $d(A, B) = \min_{a \in A, b \in B} d(a, b)$
- **Complete:**  $d(A, B) = \max_{a \in A, b \in B} d(a, b)$
- **Average:** среднее расстояние между всеми парами
- **Ward:** минимизация увеличения внутрикластерной дисперсии

**Дендрограмма** — визуализация иерархии. Разрез на высоте  $h$  даёт кластеризацию.

## 35.4 Спектральная кластеризация

**Идея:** использовать собственные векторы матрицы смежности/лапласиана графа.

**Алгоритм:**

1. Построить граф близости (например, k-NN граф)
2. Вычислить матрицу Лапласа:  $L = D - W$
3. Найти  $K$  собственных векторов с наименьшими собственными значениями
4. Применить k-Means к строкам матрицы собственных векторов

**Преимущества:**

- Находит кластеры сложной формы
- Теоретически обоснован (минимизация разреза графа)

## 36 Алгоритм PCA и t-SNE

### 36.1 PCA (Principal Component Analysis)

**Метод главных компонент** — линейное снижение размерности, максимизирующее дисперсию проекции.

**Задача:** найти ортогональные направления максимальной дисперсии.

**Алгоритм:**

1. Центрировать данные:  $\tilde{X} = X - \bar{X}$
2. Вычислить ковариационную матрицу:  $C = \frac{1}{n} \tilde{X}^T \tilde{X}$
3. Найти собственные значения и векторы:  $Cv_k = \lambda_k v_k$
4. Отсортировать по убыванию  $\lambda_k$
5. Выбрать  $k$  первых главных компонент
6. Проекция:  $Z = \tilde{X} V_k$

**Через SVD:**

$$\tilde{X} = U \Sigma V^T \Rightarrow Z = U_k \Sigma_k$$

**Доля объяснённой дисперсии:**

$$\text{explained variance ratio} = \frac{\sum_{i=1}^k \lambda_i}{\sum_{i=1}^m \lambda_i}$$

**Свойства:**

- Линейный метод
- Сохраняет глобальную структуру
- Быстрый и масштабируемый
- Чувствителен к масштабу (нужна стандартизация)

## 36.2 t-SNE (t-Distributed Stochastic Neighbor Embedding)

t-SNE — нелинейный метод снижения размерности для визуализации.

**Идея:** сохранить локальные расстояния между точками.

**Алгоритм:**

1. В исходном пространстве: вычислить попарные вероятности:

$$p_{j|i} = \frac{\exp(-\|x_i - x_j\|^2/2\sigma_i^2)}{\sum_{k \neq i} \exp(-\|x_i - x_k\|^2/2\sigma_i^2)}$$

$$p_{ij} = \frac{p_{j|i} + p_{i|j}}{2n}$$

2. В целевом пространстве: использовать t-распределение:

$$q_{ij} = \frac{(1 + \|y_i - y_j\|^2)^{-1}}{\sum_{k \neq l} (1 + \|y_k - y_l\|^2)^{-1}}$$

3. Минимизировать KL-дивергенцию:

$$KL(P\|Q) = \sum_{i \neq j} p_{ij} \log \frac{p_{ij}}{q_{ij}}$$

**Параметр perplexity:**

- Контролирует эффективное число соседей
- Типичные значения: 5-50
- Влияет на  $\sigma_i$

**Свойства t-SNE:**

- Хорошо сохраняет локальную структуру
- Глобальные расстояния не сохраняются
- Стохастический (разные запуски — разные результаты)
- Вычислительно затратный:  $O(n^2)$
- Только для визуализации (нельзя проецировать новые точки)

## 36.3 UMAP

UMAP (Uniform Manifold Approximation and Projection) — современная альтернатива t-SNE:

- Быстрее t-SNE
- Лучше сохраняет глобальную структуру
- Можно проецировать новые точки
- Теоретическое обоснование через топологию

## 37 Алгоритмы-обёртки и встроенные методы отбора признаков

**Отбор признаков** (Feature Selection) — выбор подмножества признаков для улучшения качества модели.

### 37.1 Алгоритмы-обёртки (Wrapper Methods)

**Идея:** использовать модель как «чёрный ящик» для оценки подмножеств признаков.

#### 37.1.1 Forward Selection (прямой отбор)

1. Начать с пустого множества признаков
2. На каждом шаге добавить признак, дающий наибольшее улучшение
3. Остановиться, когда улучшение незначительно

#### 37.1.2 Backward Elimination (обратное исключение)

1. Начать со всех признаков
2. На каждом шаге удалить наименее полезный признак
3. Остановиться, когда качество начинает падать

#### 37.1.3 Recursive Feature Elimination (RFE)

1. Обучить модель на всех признаках
2. Удалить признаки с наименьшими весами
3. Повторить до нужного числа признаков

**Преимущества обёрток:**

- Учитывают взаимодействия признаков
- Адаптированы к конкретной модели

**Недостатки:**

- Высокая вычислительная сложность
- Риск переобучения
- Зависимость от выбора модели

### 37.2 Встроенные методы (Embedded Methods)

**Идея:** отбор признаков интегрирован в процесс обучения модели.

#### 37.2.1 L1-регуляризация (Lasso)

$$\min_{\mathbf{w}} L(\mathbf{w}) + \lambda \|\mathbf{w}\|_1$$

L1 штраф обнуляет веса незначимых признаков.

### 37.2.2 Деревья решений и ансамбли

**Feature Importance** в Random Forest / Gradient Boosting:

- **Gini importance**: суммарное уменьшение Gini по всем разбиениям
- **Permutation importance**: падение качества при перемешивании признака

### 37.2.3 ElasticNet

Комбинация L1 и L2 — отбор признаков с группировкой коррелированных.

**Преимущества встроенных методов:**

- Эффективнее обёрток
- Отбор и обучение одновременно
- Учитывают специфику модели

## 38 Фильтрующие методы выбора признаков

**Фильтры** (Filter Methods) — оценка признаков независимо от модели, по статистическим критериям.

### 38.1 Методы для числовых признаков

#### 38.1.1 Корреляция с целевой переменной

Корреляция Пирсона (для регрессии):

$$r = \frac{\sum_i (x_i - \bar{x})(y_i - \bar{y})}{\sqrt{\sum_i (x_i - \bar{x})^2} \sqrt{\sum_i (y_i - \bar{y})^2}}$$

Отбираем признаки с  $|r| > \text{threshold}$ .

#### 38.1.2 Дисперсия

Удаление признаков с низкой дисперсией (почти константные):

$$\text{Var}(x_j) < \text{threshold}$$

#### 38.1.3 Mutual Information

$$MI(X, Y) = \sum_{x,y} p(x, y) \log \frac{p(x, y)}{p(x)p(y)}$$

Измеряет нелинейную зависимость между признаком и целевой переменной.

### 38.2 Методы для категориальных признаков

#### 38.2.1 Хи-квадрат ( $\chi^2$ )

Для категориальных признаков и целевой переменной:

$$\chi^2 = \sum_{i,j} \frac{(O_{ij} - E_{ij})^2}{E_{ij}}$$

где  $O_{ij}$  — наблюдаемые частоты,  $E_{ij}$  — ожидаемые при независимости.

### 38.2.2 ANOVA F-test

Для числовых признаков и категориальной целевой:

$$F = \frac{\text{Between-group variance}}{\text{Within-group variance}}$$

## 38.3 Преимущества и недостатки фильтров

**Преимущества:**

- Быстрые, масштабируемые
- Независимы от модели
- Не переобучаются

**Недостатки:**

- Не учитывают взаимодействия признаков
- Могут выбрать избыточные признаки
- Не оптимизированы под конкретную модель

## 38.4 Сравнение методов отбора

Метод	Скорость	Точность	Взаимодействия
Фильтры	Высокая	Низкая	Нет
Обёртки	Низкая	Высокая	Да
Встроенные	Средняя	Высокая	Частично

# 39 Задача выбора алгоритма и настройки гиперпараметров

## 39.1 Проблема выбора модели

**Model Selection** — выбор:

- Типа алгоритма (линейный, дерево, нейросеть, ...)
- Значений гиперпараметров
- Подмножества признаков
- Архитектуры модели

## 39.2 AutoML

**AutoML** — автоматизация процесса машинного обучения:

- Предобработка данных
- Выбор признаков
- Выбор модели
- Настройка гиперпараметров
- Построение ансамблей

**Инструменты:** Auto-sklearn, H2O AutoML, TPOT, AutoGluon.

### 39.3 Стратегии оценки

- **Hold-out:** быстро, но высокая дисперсия
- **K-Fold CV:** стандартный подход
- **Nested CV:** для корректной оценки при подборе гиперпараметров

### 39.4 Nested Cross-Validation

Для несмешённой оценки при подборе гиперпараметров:

1. Внешний цикл: оценка обобщающей способности
2. Внутренний цикл: подбор гиперпараметров

Нельзя использовать тестовые данные для выбора модели!

## 40 Поиск по сетке. Случайный поиск

### 40.1 Grid Search (поиск по сетке)

**Идея:** перебрать все комбинации значений гиперпараметров.

**Алгоритм:**

1. Задать сетку значений для каждого гиперпараметра
2. Для каждой комбинации:
  - Обучить модель
  - Оценить на валидации (CV)
3. Выбрать комбинацию с лучшим score

**Пример:**

```
param_grid = {
    'C': [0.1, 1, 10, 100],
    'gamma': [0.01, 0.1, 1],
    'kernel': ['rbf', 'poly']
}
```

Всего  $4 \times 3 \times 2 = 24$  комбинации.

**Недостатки:**

- Экспоненциальный рост числа комбинаций
- Неэффективен при большом числе гиперпараметров
- Равномерная сетка может пропустить оптимум

## 40.2 Random Search (случайный поиск)

**Идея:** случайно сэмплировать комбинации гиперпараметров.

**Алгоритм:**

1. Задать распределения для каждого гиперпараметра
2. Случайно выбрать  $N$  комбинаций
3. Для каждой комбинации оценить модель
4. Выбрать лучшую

**Преимущества:**

- Эффективнее Grid Search при большом числе параметров
- Лучше исследует пространство
- Можно задать бюджет по времени/числу итераций

**Теоретическое обоснование** (Bergstra & Bengio, 2012):

- При  $d$  гиперпараметрах обычно только несколько важны
- Random Search лучше покрывает важные измерения
- 60 случайных точек с вероятностью 95% найдут точку в топ-5%

## 40.3 Сравнение методов

Критерий	Grid Search	Random Search
Сложность	Экспоненциальная	Линейная
Полнота	Полный перебор	Неполный
Масштабируемость	Плохая	Хорошая
Простота	Высокая	Высокая

# 41 Optuna

Optuna — современный фреймворк для оптимизации гиперпараметров с использованием байесовской оптимизации.

## 41.1 Основные концепции

- **Study** — эксперимент по оптимизации
- **Trial** — одна попытка с конкретными гиперпараметрами
- **Objective function** — функция, которую минимизируем/максимизируем

## 41.2 Алгоритмы сэмплирования

### 41.2.1 TPE (Tree-structured Parzen Estimator)

TPE — основной алгоритм Optuna:

1. Разделить предыдущие trials на «хорошие» и «плохие» по порогу  $\gamma$
2. Построить модели плотности  $\ell(x)$  для хороших и  $g(x)$  для плохих
3. Сэмплировать точки, максимизирующие  $\ell(x)/g(x)$

### 41.2.2 Другие сэмплеры

- **Random Sampler** — случайный поиск
- **Grid Sampler** — поиск по сетке
- **CMA-ES** — эволюционная стратегия

### 41.3 Pruning (обрезка)

**Early stopping** для неперспективных trials:

- **MedianPruner**: останавливает trial, если промежуточный результат хуже медианы
- **HyperbandPruner**: адаптивное распределение ресурсов
- **SuccessiveHalvingPruner**: последовательное деление

### 41.4 Преимущества Optuna

- **Define-by-run API**: динамическое определение пространства поиска
- **Pruning**: раннее прекращение неперспективных экспериментов
- **Параллелизация**: распределённая оптимизация
- **Визуализация**: встроенные графики
- **Интеграции**: PyTorch, TensorFlow, XGBoost, LightGBM

### 41.5 Сравнение с другими фреймворками

Фреймворк	Алгоритм	Pruning	Параллелизм
Optuna	TPE, CMA-ES	Да	Да
Hyperopt	TPE	Нет	Ограничен
Ray Tune	Разные	Да	Да
Weights & Biases	Bayes, Random	Да	Да

## 42 Самообучение (self-training) и сообучение (co-training)

Методы полу-контролируемого обучения (semi-supervised learning) — использование немаркированных данных.

### 42.1 Самообучение (Self-Training)

**Идея:** модель итеративно размечает немаркированные данные и дообучается на них.

**Алгоритм:**

1. Обучить модель  $f$  на размеченных данных  $L$
2. Repeat:
  - Предсказать метки для немаркированных данных  $U$
  - Выбрать примеры с высокой уверенностью:  $\{(x, \hat{y}) : \max_k P(y = k|x) > \tau\}$

- Добавить их в  $L$ , удалить из  $U$
- Переобучить модель на расширенном  $L$

3. Until:  $U$  пусто или нет уверенных предсказаний

#### Проблемы:

- Накопление ошибок (error propagation)
- Смещение к доминирующему классу
- Зависимость от порога уверенности  $\tau$

## 42.2 Сообучение (Co-Training)

**Идея:** две модели на разных «представлениях» данных обучаются друг друга.

#### Предположения:

- Признаки можно разделить на два независимых подмножества
- Каждое подмножество достаточно для классификации

#### Алгоритм:

1. Разделить признаки:  $X = (X^{(1)}, X^{(2)})$
2. Обучить два классификатора  $f_1$  и  $f_2$  на разных представлениях
3. Repeat:
  - $f_1$  размечает примеры для  $f_2$  (с высокой уверенностью)
  - $f_2$  размечает примеры для  $f_1$
  - Переобучить обе модели

#### Пример: классификация веб-страниц

- Представление 1: текст страницы
- Представление 2: тексты ссылок на страницу

## 42.3 Tri-Training

Расширение co-training на три модели:

- Пример добавляется в обучение третьей модели, если две другие согласны
- Не требует разделения признаков

## 42.4 Применение

- Разметка данных дорогая (медицина, право)
- Много немаркированных данных (веб, соцсети)
- Доменная адаптация

## 43 Активное обучение

**Активное обучение** (Active Learning) — стратегия выбора примеров для разметки, минимизирующая количество необходимых меток.

### 43.1 Сценарии активного обучения

- **Pool-based:** выбор из большого пула немаркированных примеров
- **Stream-based:** решение о разметке каждого поступающего примера
- **Query synthesis:** генерация синтетических примеров для разметки

### 43.2 Стратегии выбора примеров

#### 43.2.1 Uncertainty Sampling

Выбирать примеры, в которых модель наименее уверена.

**Критерии неуверенности:**

- **Least Confidence:**  $x^* = \arg \min_x \max_k P(y = k|x)$
- **Margin Sampling:**  $x^* = \arg \min_x (P(y_1|x) - P(y_2|x))$  где  $y_1, y_2$  — два наиболее вероятных класса
- **Entropy:**  $x^* = \arg \max_x H(Y|x) = \arg \max_x \left( - \sum_k P(y = k|x) \log P(y = k|x) \right)$

#### 43.2.2 Query-by-Committee (QBC)

1. Обучить комитет моделей на текущих данных
2. Выбрать примеры, по которым модели максимально расходятся
3. Мера разногласия: энтропия голосов, KL-дивергенция

#### 43.2.3 Expected Model Change

Выбирать примеры, которые максимально изменят модель:

$$x^* = \arg \max_x \mathbb{E}_{Y|x} \|\nabla L(\theta; x, y)\|$$

#### 43.2.4 Density-Weighted Methods

Комбинация неуверенности и репрезентативности:

$$\text{score}(x) = \text{uncertainty}(x) \times \text{representativeness}(x)$$

## 43.3 Batch Active Learning

Выбор нескольких примеров за раз:

- Учитывать разнообразие в батче
- Кластеризация + выбор из каждого кластера
- Core-set selection

## 43.4 Преимущества и ограничения

**Преимущества:**

- Снижение затрат на разметку в 2-10 раз
- Эффективное использование бюджета
- Фокус на информативных примерах

**Ограничения:**

- Требует обученной начальной модели
- Смещение выборки (sampling bias)
- Не всегда работает лучше случайного выбора
- Вычислительные затраты на переобучение

## 43.5 Применение

- Медицинская диагностика (дорогая экспертиза)
- Разметка изображений
- Обработка естественного языка
- Аннотация редких событий